

زمین‌شناسی، کانی‌سازی، ژئوشیمی و پترولوژی توده‌های نفوذی در کانسار طلا-مس کوه زر، دامغان

پیام روحبحش^۱، محمدحسن کریمپور^{۲*} و آزاده ملکزاده شفارودی^۲

(۱) گروه زمین‌شناسی، دانشکده علوم، دانشگاه فردوسی مشهد، مشهد، ایران

(۲) گروه پژوهشی اکتشاف ذخایر معدنی شرق ایران، دانشگاه فردوسی مشهد، مشهد، ایران

دریافت مقاله: ۱۳۹۶/۰۲/۱۹، پذیرش: ۱۳۹۶/۰۷/۱۱

چکیده

کانسار طلا-مس کوه زر در ۱۰۰ کیلومتری جنوب شرق شهرستان دامغان قرار دارد. این محدوده از لحاظ زمین‌شناسی، بخشی از کمریند آتشفشاری-نفوذی ترود-چاه شیرین محسوب می‌شود. زمین‌شناسی منطقه شامل سنگ‌های آذرآواری (توف بلورین) و آتشفشاری با ترکیب آندزیت و لاتیت بوده که زیر نفوذ توده‌های آذرین نیمه عمیق با بافت پورفیری و ترکیب مونزونیتی قرار گرفته‌اند. توده‌های مونزونیتی زیر نفوذ واحدهای نیمه عمیق جوان‌تر با ترکیب دیوریتی قرار گرفته‌اند. بافت اغلب توده‌های نفوذی، پورفیری و دارای کانی‌های کوارتز، پلازیوکلاز، پتاسیم فلدسپار، هورنبلند، بیوتیت و پیروکسن است. نفوذ پلوتون و استوک‌های مونزونیتی به شکل گیری دگرسانی‌های گستردۀ سرسیتیک، پروپلیتیک، کربناته و سیلیسی-تورمالینی در منطقه منجر شده است. این سنگ‌ها با کانی‌سازی پراکنده پیریت به میزان ۱ تا ۱۰ درصد همراه بوده و سولفیدها به اکسیدهای آهن ثانویه از جمله گوتیت، هماتیت و لیمونیت تبدیل شده‌اند. نمونه‌برداری ژئوشیمیایی به روش خردمنگی، ناهنجاری بالایی را از عناصر طلا (تا حد اکثر ۵۹۸ ppb)، نقره (تا حد اکثر ۳۷۴۷ ppb)، مس (تا حد اکثر ۶۷۹ ppm)، سرب (تا حد اکثر ۱۴۲۷ ppm) و روی (تا حد اکثر ۱۰۱۳ ppm) نشان می‌دهد. بر اساس بررسی‌های ژئوشیمیایی، توده‌های نفوذی ماهیت کالک‌آلکالن پتاسیم بالا تا کمی شوشوئیتی دارند و در محدوده متا‌آلومینوس تا کمی پر‌آلومینوس قرار می‌گیرند. غنی‌شدگی LREE‌ها در برابر HREE‌ها و غنی‌شدگی عناصر LILE در برابر HFSE، تشکیل ماگما را در پهنه فروراش تأیید می‌کند. ناهنجاری منفی Eu به علت وجود پلازیوکلاز به عنوان کانی باقی‌مانده در سنگ منشأ ماست. احتمالاً ماگمای مادر در نتیجه ذوب بخشی آمفیبوالت‌ها شکل گرفته است. حضور سنگ منشأ مونزونیت پورفیری، دگرسانی‌های سرسیتیک و پروپلیتیک، کانی‌سازی پیریت پراکنده و بی‌هنجاری‌های ژئوشیمیایی طلا و مس در کانسار کوه زر، نشان‌دهنده احتمالی سیستم کانی‌سازی طلا-مس پورفیری در این ناحیه است.

واژه‌های کلیدی: توده نیمه عمیق، ژئوشیمی، طلا-مس پورفیری، کوه زر، ترود-چاه شیرین

مقدمه

محدوده مورد بررسی کانسار طلا-مس کوه زر در فاصله حدود

۱۰۰ کیلومتری شرق تهران و ۱۰۰ کیلومتری جنوب شرق شهرستان دامغان، بین مختصات جغرافیایی $۵۴^{\circ} ۳۹' - ۵۴^{\circ} ۴۰'$ تا $۳۵^{\circ} ۲۷' - ۳۵^{\circ} ۲۴'$ عرض شمالی و در برگه

۱:۱۰۰۰۰۰ معلمان (Eshraghi and Jalali, 2006) قرار دارد.

محدوده مورد بررسی از لحاظ زمین‌شناسی بخشی از کمریند آتشفشاری-نفوذی ترود-چاه شیرین محسوب می‌شود و در

پژوهش، برای نخستین بار بخش جنوب منطقه باغو با هدف تهیه نقشه‌های زمین‌شناسی و با تأکید ویژه بر تفکیک توده‌های نفوذی، بررسی گسترش و پهنه‌بندی دگرسانی‌ها و تهیه نقشه دگرسانی، بررسی کانی‌سازی و تعیین ارتباط آن با توده‌های نفوذی و بررسی ژئوشیمی توده‌های نفوذی، مورد بررسی قرار گرفت.

زمین‌شناسی منطقه

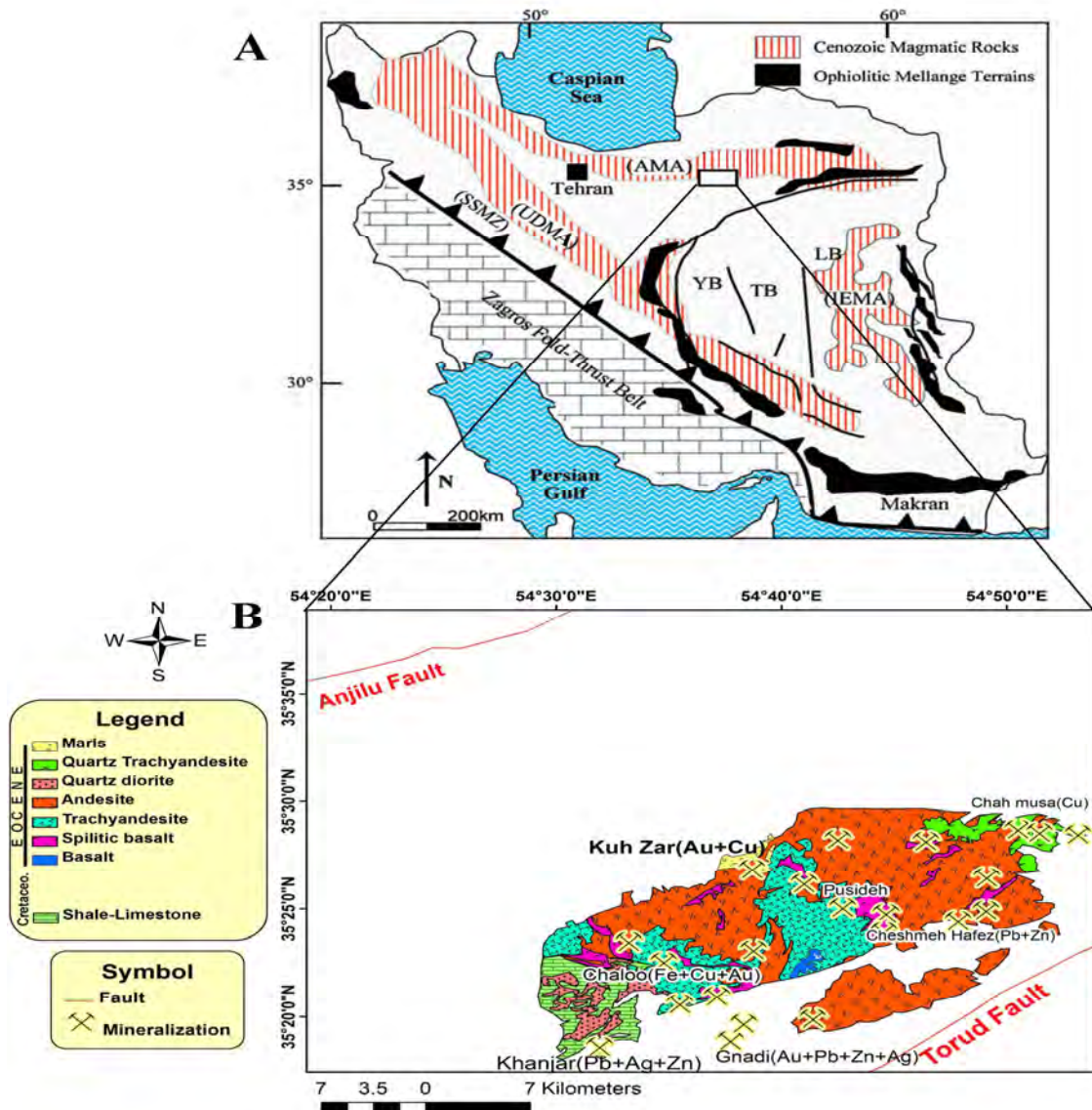
زمین‌شناسی منطقه بر اساس نقشه ۱:۱۰۰۰۰۰ Eshragi and Jalali, 2006 مشتمل بر سنگ‌های داسیتی و داسیت آندزیتی دگرسان شده با روند شمال‌غرب-جنوب‌شرق بوده است و در سایر نقاط محدوده رخمنون سنگ‌های تراکی آندزیتی و آندزیتی به سن اثوسن وجود دارد. در صورتی که بر اساس بررسی‌های سنگ‌نگاری انجام شده در این پژوهش، بخش بزرگی از سنگ‌های تراکی آندزیتی و آندزیتی عنوان شده در نقشه، شامل سنگ‌های آذرآواری (توف بلورین) و به میزان کمتر گدازه‌هایی با ترکیب آندزیت، هورنبلند آندزیت، پیروکسن آندزیت، بیوتیت پیروکسن آندزیت، پیروکسن تراکی لاتیت و هورنبلند لاتیت بوده که مورد نفوذ توده‌های آذرین نیمه عمیق با بافت پورفیری و ترکیب مونزونیتی قرار گرفته‌اند (شکل ۲). بر اساس روابط صحرایی سنگ‌های آذرآواری که بخش بزرگی از نیمه جنوبی منطقه را در بر گرفته‌اند، قدیمی‌ترین واحدهای موجود در این ناحیه هستند. توف بلورین در صحراء خاکستری رنگ و ریزدانه است و ساخت لایه‌بندی از خود نشان می‌دهد. واحدهای آتشفسانی نیز به طور عمده در قسمت جنوب تا جنوب‌شرق، بخش‌هایی از شمال‌شرق و شمال‌غرب محدوده رخمنون دارند (شکل ۲). سنگ‌های آتشفسانی در صحراء، رنگ خاکستری تیره دارد و کانی‌های پلازیوکلаз و گاهی پیروکسن و هورنبلند در آنها دیده می‌شود.

واحد داسیتی و داسیت آندزیتی دگرسان شده در نقشه ۱:۱۰۰۰۰۰ Mعلمان، در واقع توده‌های مونزونیت پورفیری با دگرسانی

مرکز این پهنه واقع شده است. مجموعه آتشفسانی نفوذی ترود-چاه شیرین بین دو گسل انجلو در بالا و ترود در پایین واقع شده است (شکل ۱). روند عمومی این برون‌زدها شمال‌شرق-جنوب‌غرب است (Darvish Zadeh, 1992) این مجموعه با وسعت تقریباً حدود ۵۰۰۰ کیلومتر مربع شامل نوار باریک و طویلی متشکل از مجموعه سنگ‌های نفوذی-آتشفسانی اثوسن با ترکیب غالب حد بواسطه (آندرزیتی) است که تحت تأثیر تزریق توده‌های نفوذی الیکومیوسن با ترکیب گرانوویوریتی قرار گرفته است (Rashid Nejad Omran, 1993) نفوذ توده‌های نیمه عمیق با ترکیب اسیدی تا حد بواسطه به داخل توالی‌های آتشفسانی آندزیتی به شکل دایک و سیل، در برخی از قسمت‌های این کمریند، دگرسانی گرمابی همراه با کانی‌زایی‌های نوع رگه‌ای را موجب شده است (Liaghate et al., 2008; Mehrabi and Ghasemi Siani, 2010) نشانه‌های معدنی طلا، مس، سرب و روی که در نقاط مختلف پهنه ترود-چاه شیرین وجود دارد و کانسار طلا-مس کوه زر که هدف این پژوهش است، می‌توان از کانسارهای خانجار، چالو، گندی، چشم‌های فلزی در پهنه ترود-چاه شیرین نام برد. از کانی‌سازی‌های فلزی در این منطقه، می‌توان به تهیه نقشه بررسی‌های قبلی انجام شده در این منطقه، می‌توان به تهیه نقشه زمین‌شناسی Eshragi and Jalali, 2006، بررسی تحولات سنگ‌شناسی و ماگمایی و روابط آن با کانی‌سازی طلا در منطقه باغو (Rashid Nejad Omran, 1993)، بررسی کانی‌شناسی، دگرسانی و لیتوژئوشیمیایی طلا (Ahmadi Shad, 1998)، بررسی ژئوشیمی و منطقه باغو (Najjaran, 2000)، ژئوشیمی و منشأ کانسار فیروزه باغو (Shakeri, A., 2000) کانسار طلای کوه زر دامغان (باغو) (Liaghate et al., 2008) بررسی پترولوژی، ژئوشیمیایی و منشأ فیروزه باغو-دامغان (Khalili and Mackizadeh, 2012) و در نهایت رخداد تورمالین در معدن طلا-مس کوه زر (باغو) جنوب استان سمنان (Khalili and Mackizadeh, 2012) اشاره کرد. همه پژوهش‌های یادشده به منطقه باغو معطوف بوده است؛ بنابراین در این

گستردگی را در بین واحدهای سنگی به خود اختصاص داده است (شکل ۲).

سرسیتیک است. این واحد با روند شمال‌غربی- جنوب‌شرقی در محدوده گستردگی شده و پس از واحد توف بلورین، بیشترین



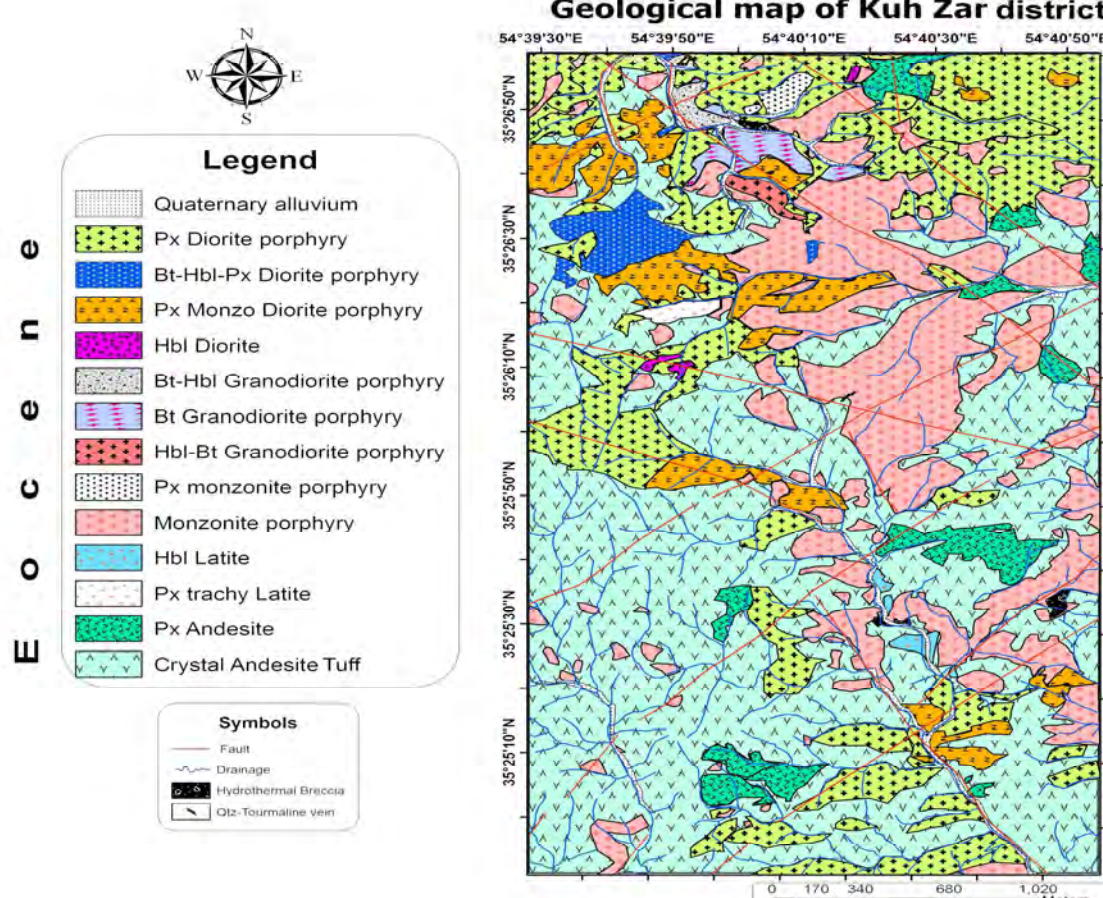
شکل ۱. A: پراکندگی سنگ‌های آذرین سنوزوئیک در ایران و موقعیت مکانی پهنه ترود- چاه شیرین در بخش شرقی کمربند مagmaی البرز با تغییرات از علوی (Alavi, 1991) و فرهادی (Farhadi, 2007). کلمات اختصاری: AMA: کمربند magmaی البرز، UDMA: کمان magmaی ارومیه- دختر، IEMA: مجموعه magmaی شرق ایران، SSMZ: پهنه دگرگونی سندج- سیرجان، YB: بلوک یزد، TB: بلوک طبس، LB: بلوک لوت و B: نقشه زمین‌شناسی ساده پهنه ترود- چاه شیرین و موقعیت کانی‌سازی‌های آن. برگرفته از نقشه زمین‌شناسی معلمان (Eshraghi and Jalali, 2006)

Fig. 1. A: Distribution of Cenozoic igneous rocks in Iran and Torud-Chah Shirin zone in the eastern part of Alborz Magmatic belt (After Alavi, 1991; Farhadi, 1997) AMA: Alborz Magmatic Assemblage, UDMA:Urumieh-Dokhtar Magmatic Arc, IEMA: Iran Eastern Magmatic Assemblage, SSMZ: Sanandaj-Sirjan Metamorphic Zone, YB: Yazd Block, TB: Tabas Block, LB: Lout Block, and B:Simplified Geological Map of Torud- Chah Shirin zone and location of its mineralizations (from scale: 1:100.000 geological map of Moalleman (Eshraghi and Jalali, 2006))

درصد است. فنوکریست‌ها شامل ۱۵ تا ۲۰ درصد پلاژیوکلاز به اندازه $0/3$ تا ۲ میلی‌متر، ۱۵ تا ۲۰ درصد آلکالی فلدسپات به اندازه $0/2$ تا ۱ میلی‌متر و پیروکسن به میزان ۱ درصد و اندازه $0/2$ میلی‌متر است. زمینه سنگ شامل کانی‌های فنوکریست، کانی‌های فرعی مانند زیرکن، کانی‌های دگرسان مثل سریت و ۵ تا ۷ درصد کانی اوپک است. توده‌های نفوذی نیمه عمیق مونزونیت پورفیری و پیروکسن مونزونیت پورفیری که منشأ اصلی دگرسانی و کانی‌سازی در منطقه هستند (Roohbakhsh et al., 2016)، به صورت پلوتون، استوک و دایک در سنگ‌های آذرآواری و آتشفسانی نفوذ کرده و به دگرسانی وسیع و کانی‌سازی انجامیده است.

رخمنون واحد مونزونیت پورفیری در صحرا بر اثر دگرسانی سرسیتیک، به رنگ زرد نخودی است و ریخت‌شناسی خشن دارد. بافت این واحد پورفیری و دارای ۳۵ تا ۴۰ درصد فنوکریست است. فنوکریست‌ها شامل ۱۵ تا ۲۰ درصد پلاژیوکلاز به اندازه $0/2$ تا ۲ میلی‌متر و ۱۵ تا ۲۰ درصد فلدسپات پتناسیم به اندازه $0/2$ تا $0/6$ میلی‌متر است. زمینه سنگ شامل کانی‌های فنوکریست، کانی‌های دگرسان شامل کوارتز ثانویه و سریت (شکل ۳-A)، کانی‌های فرعی مانند زیرکن و ۶ تا ۷ درصد کانی اوپک است.

پیروکسن مونزونیت پورفیری به رنگ سفید مایل به زرد به صورت محدود در شمال محدوده رخمنون دارد (شکل ۲). این واحد با بافت پورفیری دارای میزان فنوکریست ۳۵ تا ۴۰ درصد کانی اوپک است.



شکل ۲. نقشه زمین‌شناسی محدوده کوه زر

Fig. 2. Geological map of Kuh Zar area

میکروسکوپی نیز گرانولار و شامل ۷۵ تا ۸۰ درصد پلاژیوکلاز به اندازه $0/3$ تا $0/7$ میلی‌متر و ۵ درصد هورنبلند به اندازه $0/3$ میلی‌متر است.

پیروکسن مونزودیوریت پورفیری به رنگ تیره مایل به زرد در بخش‌هایی از مرکز و جنوب شرق محدوده رخمنون دارد (شکل ۲). کانی‌های پلاژیوکلاز و گاه پیروکسن در نمونه دستی آن قابل تشخیص هستند. بافت آن در مقاطع میکروسکوپی، پورفیری و فنوکریست آن 25 تا 30 درصد است. فنوکریست شامل پلاژیوکلاز به میزان 15 تا 20 درصد و اندازه $0/3$ تا $0/5$ میلی‌متر، پتاسیم فلدسپات به میزان 5 تا 7 درصد و اندازه $0/3$ تا $0/5$ میلی‌متر، پیروکسن 1 تا 2 درصد و اندازه $0/3$ تا $0/5$ میلی‌متر است. زمینه شامل پلاژیوکلاز، پتاسیم فلدسپات و پیروکسن به همراه 2 درصد کانی اوپک است.

بیوتیت هورنبلند پیروکسن دیوریت پورفیری به رنگ تیره مایل به سبز، فقط در قسمت شمال‌غربی محدوده رخمنون دارد (شکل ۲). بافت آن پورفیری و میزان فنوکریست آن 40 تا 45 درصد است. فنوکریست شامل 15 تا 20 درصد پلاژیوکلاز به اندازه $0/3$ تا 2 میلی‌متر، 4 تا 5 درصد بیوتیت به اندازه $0/4$ میلی‌متر، 5 تا 7 درصد هورنبلند به اندازه $0/4$ تا $0/8$ میلی‌متر، 7 تا 10 درصد پیروکسن به اندازه $0/3$ تا 1 میلی‌متر است. زمینه شامل کانی‌های فنوکریست، کانی فرعی زیرکن، کانی‌های دگرسان کلریت و کربنات و 2 درصد کانی اوپک است.

پیروکسن دیوریت پورفیری با رنگ تیره متمایل به سبز در دو ناحیه شمال‌غرب و شمال‌شرق محدوده رخمنون دارد (شکل ۲). کانی پلاژیوکلاز در نمونه دستی این واحد قابل تشخیص است. بافت آن پورفیری و دارای 15 تا 20 درصد فنوکریست بوده و فنوکریست‌ها شامل پلاژیوکلاز به میزان 15 درصد و اندازه $0/5$ تا 3 میلی‌متر و پیروکسن به میزان 1 تا 2 درصد و اندازه $0/5$ میلی‌متر است (شکل ۳C). زمینه شامل کانی‌های فنوکریست و 1 درصد کانی اوپک است.

روش مطالعه
برای شناسایی دقیق‌تر و جداسازی بیشتر واحد‌های آذرین در

هورنبلند بیوتیت گرانودیوریت پورفیری به رنگ روشن مایل به سبز و به صورت استوک در شمال محدوده رخمنون اندکی دارد (شکل ۲). بافت آن پورفیری با میزان 50 تا 55 درصد فنوکریست است و فنوکریست‌ها شامل 15 تا 20 درصد کوارتز به اندازه $0/3$ تا $0/4$ میلی‌متر، 20 تا 25 درصد پلاژیوکلاز به اندازه $0/5$ تا 4 میلی‌متر، 5 تا 7 درصد بیوتیت به اندازه $0/2$ تا $0/3$ میلی‌متر است. زمینه سنگ شامل کوارتز، پلاژیوکلاز و به میزان کمتر بیوتیت، کانی‌های فرعی مانند زیرکن و 1 تا 2 درصد کانی اوپک (پیریت) هستند.

بیوتیت گرانودیوریت پورفیری به رنگ روشن مایل به زرد فقط در بخش شمالی محدوده رخمنون دارد (شکل ۲). بافت آن پورفیری و میزان فنوکریست آن 50 تا 55 درصد بوده و مشتمل بر 15 تا 20 درصد کوارتز به اندازه $0/3$ میلی‌متر، 20 تا 25 درصد پلاژیوکلاز به اندازه $0/5$ تا 3 میلی‌متر، 5 تا 7 درصد بیوتیت به اندازه $0/2$ تا $0/3$ میلی‌متر است (شکل ۳B). زمینه سنگ شامل کانی‌های یادشده، کانی فرعی زیرکن و 1 درصد کانی اوپک است.

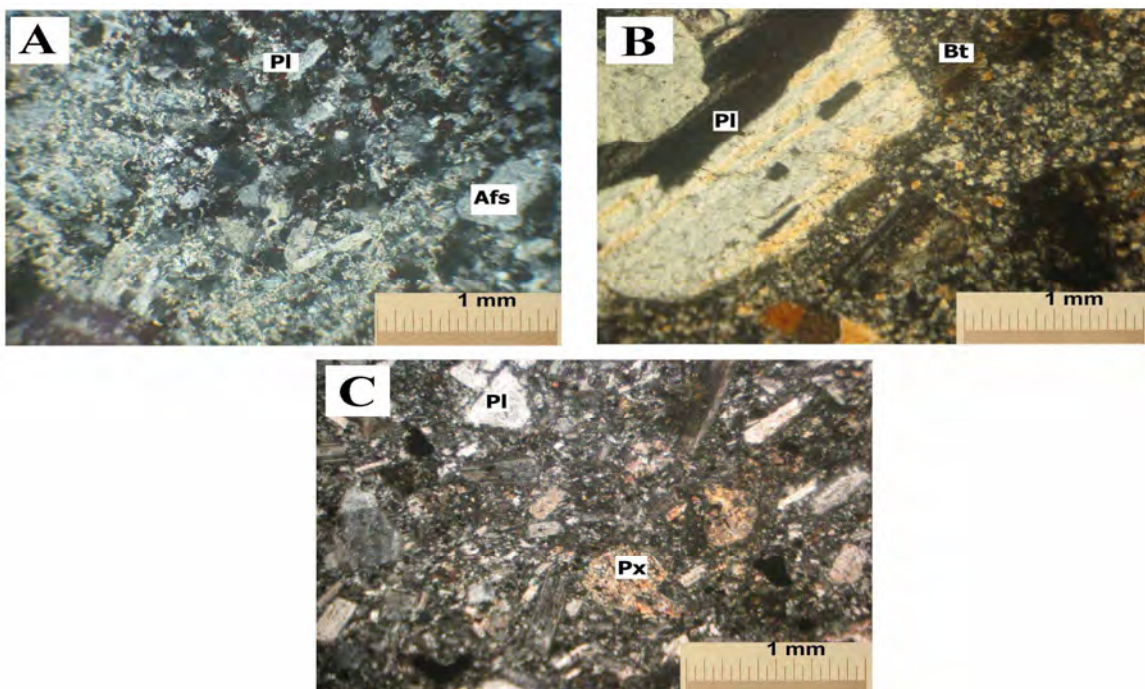
بیوتیت هورنبلند گرانودیوریت پورفیری رنگ روشن مایل به سبز و به صورت استوک در شمال‌غرب محدوده رخمنون دارد (شکل ۲). بافت آن پورفیری با میزان فنوکریست 50 تا 55 درصد است. فنوکریست شامل 15 تا 20 درصد کوارتز به اندازه $0/3$ تا $0/4$ میلی‌متر، 20 تا 25 درصد پلاژیوکلاز به اندازه $0/5$ تا 4 میلی‌متر، 2 درصد بیوتیت به اندازه $0/2$ تا $0/3$ میلی‌متر و 5 تا 7 درصد هورنبلند به اندازه $0/3$ تا $0/7$ میلی‌متر است.

توده‌های مونزونیتی در منطقه خود زیر نفوذ واحد‌های نیمه عمیق جوان‌تر با ترکیب دیوریتی قرار گرفته اند (شکل ۲).

هورنبلند دیوریت به رنگ خاکستری تیره مایل به سبز است و در نمونه دستی آن درشت‌بلورهای پلاژیوکلاز و گاهی هورنبلند قابل تشخیص هستند. بافت این واحد گرانولار است. این واحد به صورت محدود در بخش‌هایی از شمال و غرب محدوده رخمنون دارد (شکل ۲). بافت این واحد در مقاطع

این نمونه‌ها همچنین برای آنالیز عناصر کمیاب و نادر خاکی به آزمایشگاه Acme کشور کانادا ارسال شد و به روش ICP-MS و ذوب قلیایی مورد تجزیه قرار گرفت. نتایج تجزیه با نرم‌افزار GCDkit پردازش و از نمودارهای لازم پترولولژیکی برای تعبیر و تفسیر استفاده شد. طی پیمایش‌های صحرابی با توجه به نقشه‌های زمین‌شناسی، دگرسانی و کانی‌سازی ۱۳۷ نمونه خردمندی از کل محدوده کوه زر برداشت و تجزیه به روش ICP-MS با حلال تیزاب سلطانی برای ۳۷ عنصر در آزمایشگاه Acme کشور کانادا انجام شد و سرانجام نقشه‌های ژئوشیمی سنگی با مقیاس ۱:۱۵۰۰۰ در محدوده‌ای به وسعت ۸ کیلومتر مربع تهیه شد. پس از بررسی‌های سنگنگاری ۱۰ نمونه از توده‌های آذرین نفوذی با کمترین میزان دگرسانی انتخاب شد و در شرکت تجزیه‌کنندگان کانسارهای بلورین آتمیس شرق توسط دستگاه XRF مورد آنالیز اکسیدهای اصلی قرار گرفت.

محدوده کوه زر، در مجموع بیش از ۲۰۰ نمونه سطحی با درنظر گرفتن تصاویر ماهواره‌ای پردازش شده و مؤلفه‌های مختلف در صحراب از قبیل تغییرات بافتی، درصد، نوع و اندازه فنوکریست و در صورت پورفیری بودن بافت و تغییرات دگرسانی برداشت شدند. پس از تهیه و بررسی ۱۳۲ مقطع نازک، نقشه زمین‌شناسی و دگرسانی در مقیاس ۱:۱۵۰۰۰ در محدوده‌ای به وسعت ۸ کیلومتر مربع تهیه شد. ۱۵ مقطع نازک صیقلی تهیه و برداشت و نقشه کانی‌سازی در مقیاس ۱:۱۵۰۰۰ در محدوده‌ای به وسعت ۸ کیلومتر مربع تهیه شد. پس از بررسی‌های سنگنگاری ۱۰ نمونه از توده‌های آذرین نفوذی با کمترین میزان دگرسانی انتخاب شد و در شرکت تجزیه‌کنندگان کانسارهای بلورین آتمیس شرق توسط دستگاه XRF مورد آنالیز اکسیدهای اصلی قرار گرفت.



شکل ۳. تصاویر میکروسکوپی توده‌های نفوذی محدوده کوه زر، دامغان در XPL. A: حضور پلازیوکلازها و فلدسپات‌های آلکالی در سنگ مونزونیت پورفیری، B: بلورهای بیوتیت و پلازیوکلاز به همراه کوارتزهای ریزبلور زمینه در بیوتیت گرانوپورفیریت پورفیری و C: فنوکریست‌های شامل پلازیوکلاز و پیروکسن در سنگ پیروکسن دیوریت پورفیری. Pl: پلازیوکلاز، Afs: آلالی فلدسپات، Bt: بیوتیت، Px: پیروکسن. عالیم اختصاری از ویتنی و اوونز (Whitney and Evans, 2010)

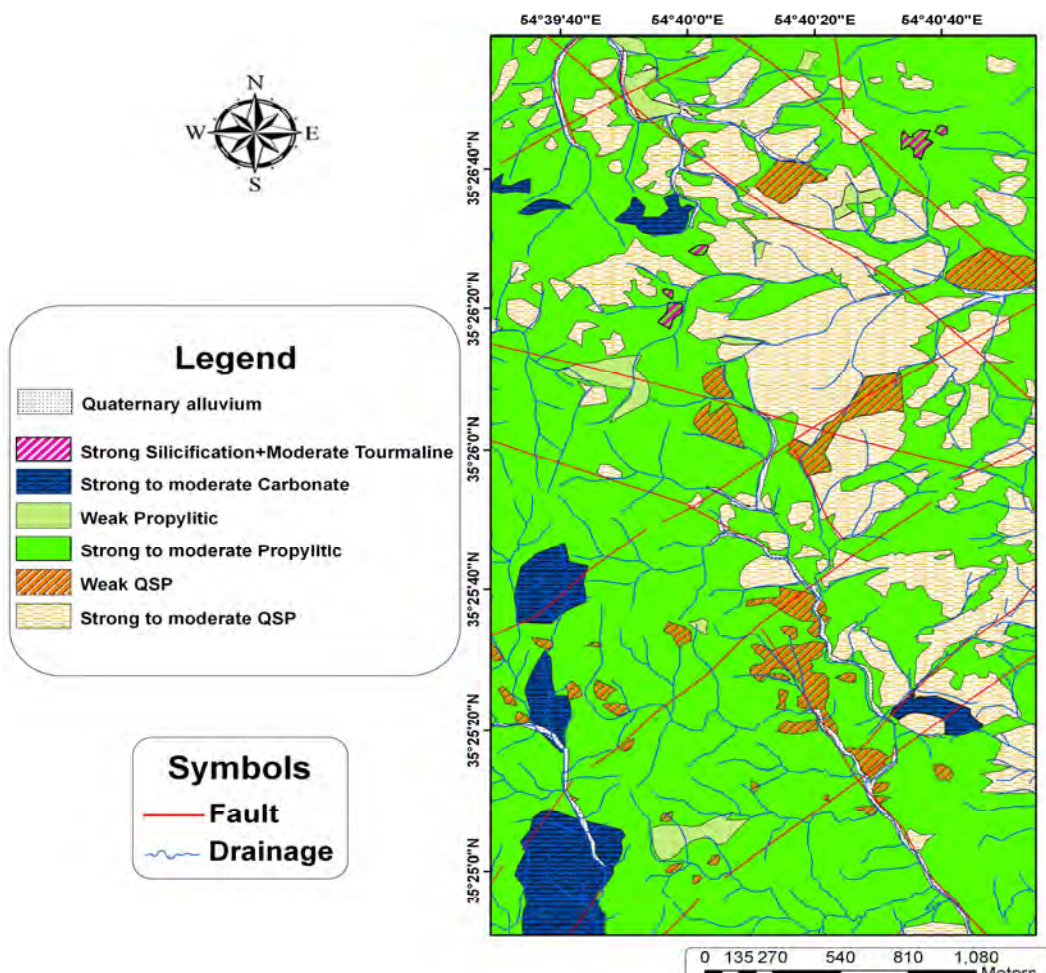
Fig. 3. Photomicrographs of the intrusive rocks in the Kuh Zar district, Damghan, in XPL. A: Plagioclase and alkali feldspar in monzonite porphyry, B: Biotite and plagioclase crystals with microcrystalline quartz in biotite granodiorite porphyry, and C: plagioclase and pyroxene phenocrysts in pyroxene diorite porphyry. Pl: Plagioclase, Afs: Alkali feldspar, Bt: Biotite, Px: Pyroxene. Abbreviations after Whitney and Evans (2010)

د گرسانی

جنوب شرق محدوده، توده‌های بیوتیت گرانودیوریت پورفیری، هورنبلند بیوتیت گرانودیوریت پورفیری، پیروکسن مونزونیت پورفیری، مونزونیت پورفیری، پیروکسن مونزوندیوریت پورفیری و واحد پیروکسن آندزیت را تحت تأثیر خود قرار داده است. ویژگی این پهنه، وجود کوارتز به صورت پراکنده و رگه‌های تبدیل پلاژیوکلاز و آلکالی فلدسپات به میزان ۱۵ تا ۷۰ درصد به سریست، حضور ۳ تا ۴ درصد قالب پیریت (پیریت کاملاً اکسید شده) و گاه حضور اکسید آهن به صورت رگه‌های و به میزان ۵ تا ۷ درصد است (شکل ۴). (A-۵).

بر اساس بررسی‌های صحراوی و آزمایشگاهی، توده‌های نفوذی نیمه عمیق تحت تأثیر محلول‌های کانه‌دار قرار گرفته و د گرسانی شده‌اند (شکل ۴). د گرسانی‌های موجود در محدوده کوه زر را می‌توان به چهار دسته اصلی تقسیم کرد: د گرسانی سرسیتیک که به زیر پهنه‌های سرسیتیک شدید تا متوسط و سرسیتیک ضعیف تقسیم می‌شود؛ د گرسانی پروپلیتیک شامل پروپلیتیک شدید تا متوسط و پروپلیتیک ضعیف؛ د گرسانی کربناته شدید تا متوسط و در نهایت د گرسانی سیلیسی شدید + تورمالینی متوسط. د گرسانی سرسیتیک شدید تا متوسط با گسترش شمال‌غرب به

Alteration Map of Kuh Zar district



شکل ۴. نقشه د گرسانی محدوده کوه زر

Fig. 4. Alteration map of Kuh Zar area

پهنه، دگرسانی ۵ تا ۶۰ درصد پلازیو کلازها به کربنات و ۱۰ تا ۳۰ درصد به سرسیت تبدیل شده‌اند (شکل C-۵). اکسید آهن این دگرسانی حدود ۱ تا ۶ درصد است. دگرسانی سیلیسی شدید + تورمالینی متوسط به طور بسیار محدود در بخش شمال‌غرب و شمال‌شرق محدوده همراه با واحد سنگی مونزونیت پورفیری دیده می‌شود. ویژگی بارز این دگرسانی حضور رگه‌های تورمالین-اکسید آهن، وجود کوارتزهای ریزبلور ثانویه به میزان ۷۰ تا ۸۵ درصد زمینه سنگ و ۱۰ درصد تورمالین پراکنده در سنگ است (شکل D-۵).

کانی‌سازی

کانی‌سازی در محدوده کوه زر با گسترش شمال‌غربی-جنوب‌شرقی، به حالت دانه پراکنده در متن سنگ‌های مونزونیت پورفیری با دگرسانی سرسیتیک رخ داده است. پیریت اولیه اکسیده شده است و اکسیدهای آهن ثانویه از جمله گوتیت، هماتیت و لیمونیت در سطح زمین دیده می‌شود. شدت اکسیداسیون منطقه زیاد بوده است. آثار کانی‌سازی مس به صورت رگه‌چه فیروزه به میزان ۲ تا ۵ درصد در واحد پیروکسن مونزوندیوریت پورفیری شمال منطقه دیده می‌شود (شکل ۶) بدین‌منظور، در نقشه کانی‌سازی، توزیع اکسید آهن در سطح زمین که میزان آن در پهنه‌های دگرسان بین ۱ تا ۱۰ درصد متغیر است، به عنوان معرف، برای پی‌جوبی کانی‌سازی سولفیدی آورده شده است. بیشترین میزان توزیع اکسید آهن، مربوط به نیمه شمالی منطقه است (شکل ۶). روابط صحرابی و بررسی‌های آزمایشگاهی نشان می‌دهد که پیریت در پهنه سرسیتیک کمی بعد و هم‌زمان با کوارتز تشکیل شده است. دیگر پهنه‌های دگرسانی بدون کانی‌سازی دانه پراکنده هستند. در مرکز محدوده رگه‌چه‌های اکسید آهن ثانویه با پهنه دگرسانی سرسیتیک شدید تا متوسط همراه هستند.

کانی‌سازی کوارتز + سولفید رگه‌چه‌ای نیز با امتداد شمال‌غرب-جنوب‌شرق به ضخامت یک سانتی‌متر در پهنه دگرسانی پروپلیتیک شدید تا متوسط واقع در جنوب محدوده دیده

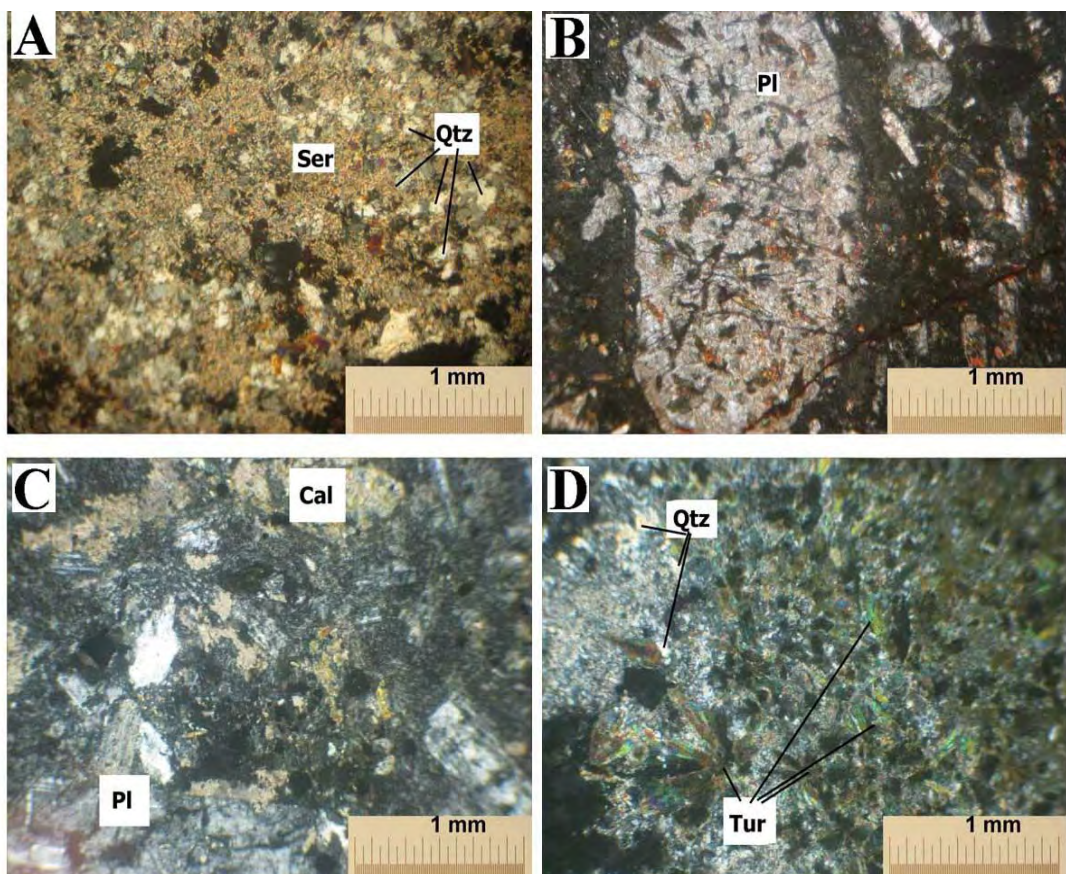
دگرسانی سرسیتیک ضعیف با گسترش کم، در بخش‌های مرکزی محدوده و در واحدهای مونزونیت پورفیری و پیروکسن مونزوندیوریت پورفیری دیده می‌شود. تفاوت این دگرسانی با دگرسانی سرسیتیک شدید تا متوسط در تبدیل پلازیو کلاز و آلکالی فلدسپات به میزان کمتر از ۱۵ درصد به سرسیت است. دگرسانی پروپلیتیک شدید تا متوسط بیشترین گسترش را نسبت به دیگر پهنه‌های دگرسانی در منطقه داشته و در تمامی منطقه گستردۀ است. این پهنه دگرسانی همراه با واحدهای سنگی پیروکسن دیوریت پورفیری، بیوتیت هورنبلندهای پیروکسن دیوریت پورفیری، پیروکسن مونزوندیوریت پورفیری، هورنبلندهای لاتیت، پیروکسن تراکی لاتیت، پیروکسن آندزیت و توف بلورین دیده می‌شود. ویژگی بارز این دگرسانی تبدیل ۵ تا ۷۰ درصد پلازیو کلازها به کربنات، ۵ تا ۳۰ درصد به اپیدوت، ۵ تا ۲۵ درصد به کلریت، تبدیل ۲۰ تا ۸۰ درصد هورنبلندهای کلریت، ۱۰ تا ۷۰ درصد به کربنات و تبدیل ۵ تا ۷۰ درصد کلینوپیروکسن‌ها به کلریت و کربنات و حضور حدود ۱ تا ۵ درصد اکسید آهن است (شکل B-۵).

دگرسانی پروپلیتیک ضعیف با وسعت کم در بخش‌های جنوب‌غرب، غرب و شمال‌غرب محدوده وجود دارد. این دگرسانی همراه با واحدهای سنگی بیوتیت هورنبلندهای گرانودیوریت پورفیری، هورنبلندهای پیروکسن دیوریت پورفیری و پیروکسن آندزیت دیده می‌شود. این دگرسانی با تبدیل ۱ تا ۵ درصد پلازیو کلازها به کربنات و کلریت و تبدیل ۱ تا ۵۰ درصد کلینوپیروکسن‌ها به کلریت و کربنات و در نهایت تبدیل ۴۰ تا ۹۰ درصد هورنبلندهای کلریت شناسایی می‌شود. محتوا اکسید آهن دگرسانی پروپلیتیک ضعیف حدود ۱ تا ۵ درصد است.

دگرسانی کربناته شدید تا متوسط با گسترش محدود در قسمت جنوب‌غرب و جنوب‌شرق محدوده، واحد توف بلورین را تحت تأثیر قرار داده است و در بخش شمال‌شرق محدوده در واحد سنگی پیروکسن دیوریت پورفیری دیده می‌شود. در این

هماتیت، لیمونیت و فیروزه مهمترین کانی‌های پهنه اکسیدان در کل این ناحیه هستند.

می‌شود. بخش بیشتر کانی‌سازی سولفیدی در این منطقه دستخوش اکسايش شده است. کانی‌هایی مانند گوتیت،



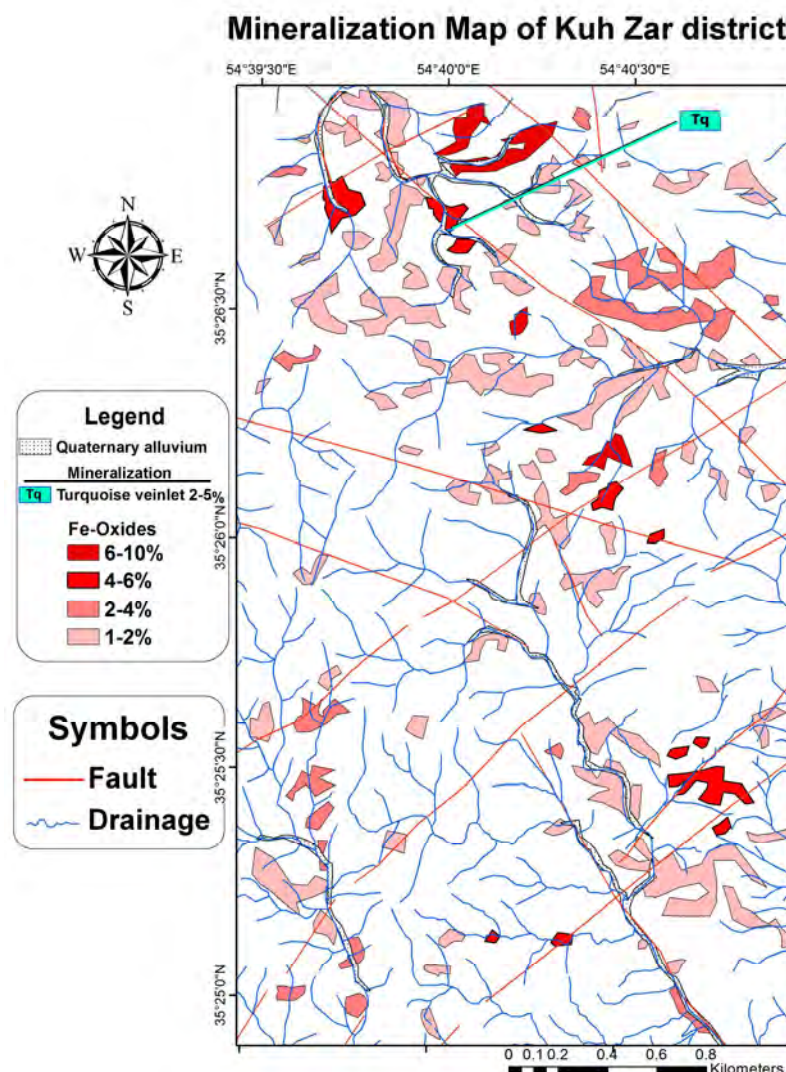
شکل ۵. دگرسانی در توده‌های نفوذی محدوده کوه زر، دامغان در A: دگرسانی سرسیتیک شدید با حضور کوارتز پراکنده و سرسیتی شدن گسترده سنگ، B: دگرسانی پروپلیتیک شدید تا متوسط با دگرسانی پلاژیوکلاز به اپیدوت، C: دگرسانی کربناته، جانشینی پلاژیوکلاز توسط کانی‌های کربناته و D: نمایی از پهنه سیلیسی-تورمالینی در مقطع نازک. Qtz: کوارتز، Ser: سرسیت، Pl: پلاژیوکلاز، Cal: کلسیت، Tur: تورمالین. علایم اختصاری از ویتنی و اوائز (Whitney and Evans, 2010)

Fig. 5. Alteration in the Kuh Zar intrusive rocks, Damghan, in XPL. A: Strong QSP alteration with disseminated quartz and widespread sericitization in the rock, B: Strong to moderate propylitic alteration with alteration of plagioclase to epidote, C: Carbonate alteration, replacement of plagioclase by carbonate minerals, and D: A view of silicification-tourmalinization zone in thin section. Qtz: Quartz, Ser: Sericite, Pl: Plagioclase, Cal: Calcite, Tur: Tourmaline. Abbreviations after Whitney and Evans (2010)

خارج می‌شود و به شکل غیرعادی در می‌آید (Adams, 1985)

محاسبات آماری عناصر طلا، نقره، مس، سرب و روی به دست آمده از نتایج تجزیه ۱۳۷ نمونه خردمنگی در جدول ۱ آمده است.

ژئوشیمی اکتشافی
هدف ژئوشیمی اکتشافی، دستیابی به تمرکز غیرعادی عناصری است که به کانی‌سازی وابسته‌اند. توزیع آماری عناصر اصلی در طبیعت عادی است، در شرایطی که سنگ‌ها تحت تأثیر دگرسانی و کانی‌سازی قرار بگیرند، این توزیع از حالت عادی



شکل ۶. نقشه کانی‌سازی محدوده کوه زر

Fig. 6. Mineralization map of Kuh Zar area

جدول ۱. محاسبات آماری عناصر حاصل از نمونه‌های لیتوژئوشیمیایی در محدوده کوه زر

Table 1. Statistical computations of elements derived from lithogeochemical samples in the Kuh Zar area

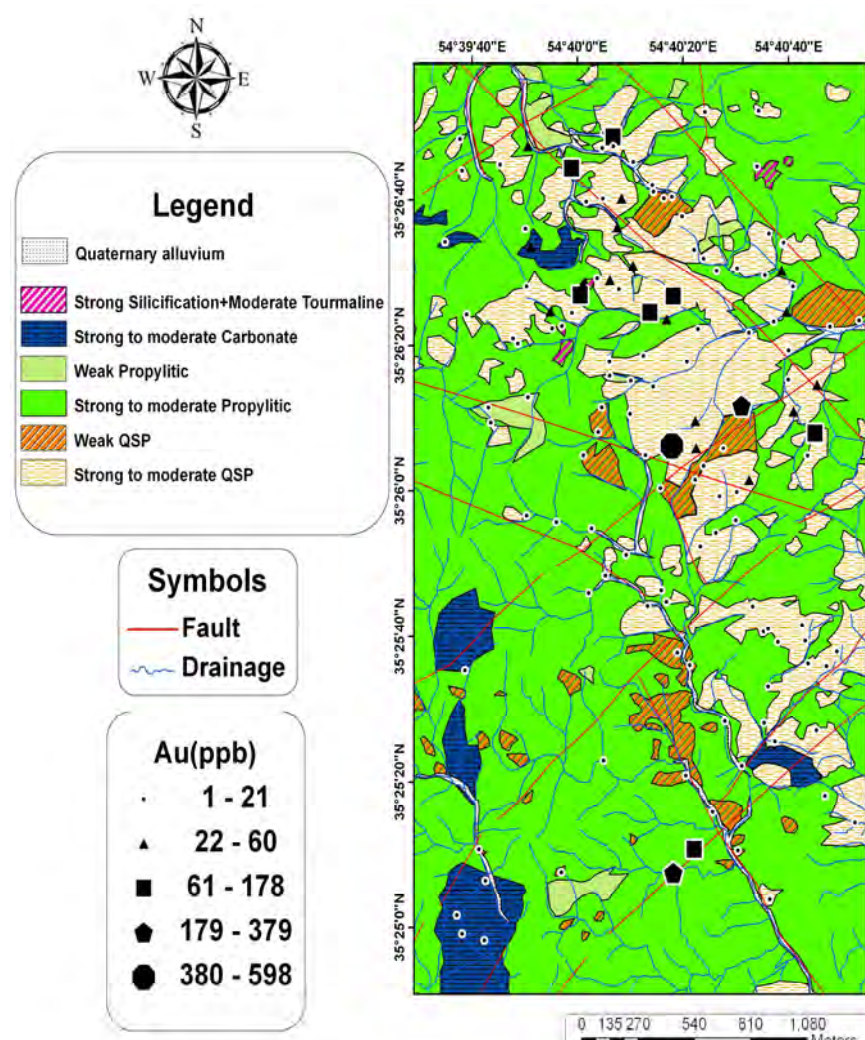
Element	Max	Min	Mean	Median	Mode	Standard Deviation
Au(ppb)	598	1	25.23	8.8	24.4	66.33
Ag(ppb)	3747	19	344.20	155	48	512.26
Cu(ppm)	679	7	72.59	57	44.09	70.71
Pb(ppm)	1427	4	98.57	45	64	189.91
Zn(ppm)	1013	5	94.08	53	33	137.77

میزان دیوریت پورفیری و دگرسانی پروپلیتیک شدید تا متوسط مرتبه است (شکل ۷).

نقوص: میزان نقره از ۱۹ تا ۳۷۴۷ میلی گرم در تن متغیر است. بیشترین میزان (۳۷۴۷ ppb) مربوط به نمونه‌ای در مرکز محدوده است. این نمونه در سنگ میزان پیروکسن مونزودیوریت پورفیری با دگرسانی سرسیتیک شدید تا متوسط دیده می‌شود. پس از آن نمونه، نمونه‌ای دیگر به میزان ۳۲۸۳ ppb حائز بیشترین میزان نقره است. این نمونه با پیروکسن دیوریت‌های پورفیری جنوب منطقه با دگرسانی پروپلیتیک شدید تا متوسط مرتبه است.

بر اساس اکتشافات ژئوشیمیابی با روش خردمنگی نتایج زیر به دست آمد:

طلا: میزان طلا از ۱ تا ۵۹۸ میلی گرم در تن متغیر است. بیشترین میزان طلا (۵۹۸ ppb) مربوط به مرکز محدوده است و با دگرسانی سرسیتیک شدید تا متوسط در سنگ مونزونیت پورفیری دیده می‌شود. پس از آن نمونه واقع در جنوب محدوده به میزان ۳۷۹ ppb دارای بیشترین میزان طلاست. این نمونه با کانی‌سازی سولفیدی همراه با رگه‌چه‌های کوارتز با امتداد شمال‌غرب-جنوب‌شرق به ضخامت یک سانتی‌متر در سنگ



شکل ۷. نقشه ژئوشیمی خردمنگی-دگرسانی عنصر طلا در محدوده کوه زر

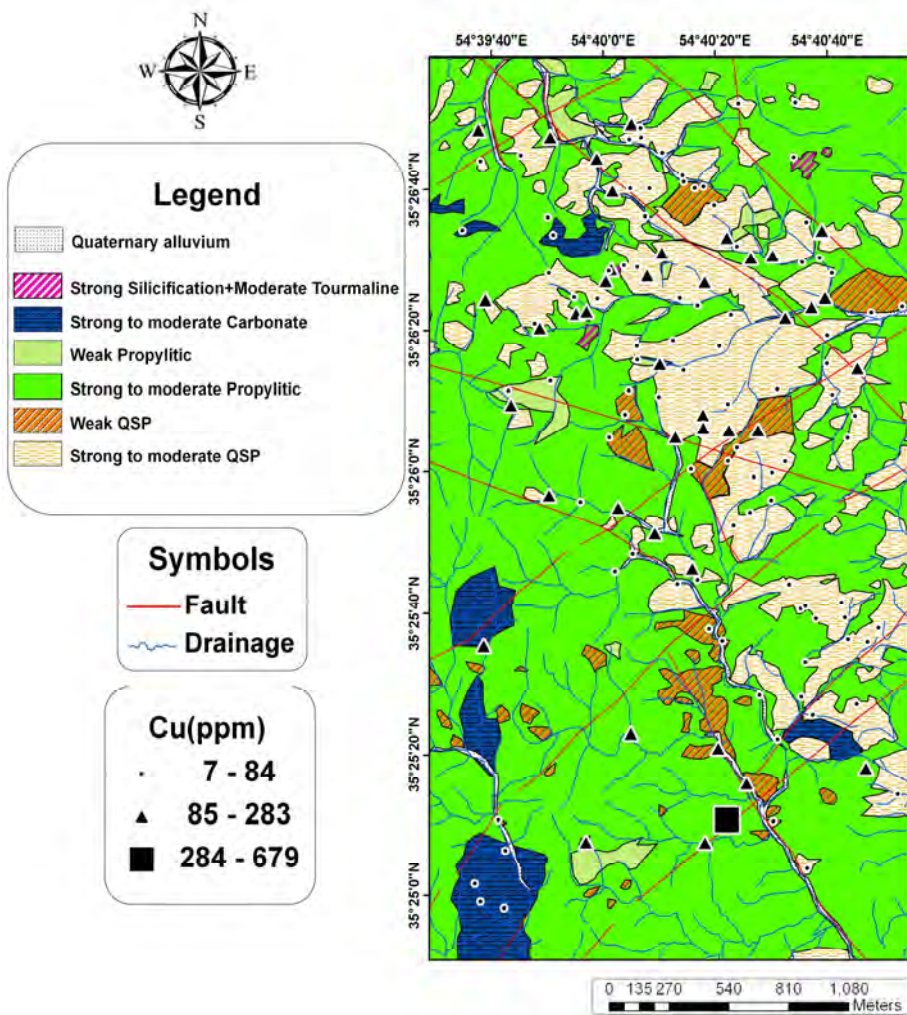
Fig. 7. Lithogeochemical-alteration map of gold element in the Kuh Zar area

از این ناحیه، نمونه‌ای به میزان ۱۲۴۰ گرم در تن دارای بیشترین میزان سرب است. این نمونه در مونزونیت پورفیری‌های جنوب محدوده با دگرسانی سرسیتیک ضعیف دیده می‌شود.

روی: میزان روی در محدوده از ۵ تا ۱۰۱۳ گرم در تن متغیر است. بیشترین میزان (۱۰۱۳ ppm) مربوط به نمونه برداشت شده از شمال غرب محدوده است. در این نقطه رگه‌های کوارتز در واحد پیروکسن مونزودیوریت پورفیری با دگرسانی سرسیتیک دیده می‌شود. مقادیر بی‌亨جاری دیگر مربوط به جنوب و شمال محدوده است.

مس: میزان مس از ۷ تا ۶۷۹ گرم در تن متغیر است. بیشترین بی‌هنجاری مربوط به نمونه‌ای در جنوب محدوده بوده که این نمونه دارای بیشترین میزان نقره است. پس از آن بیشترین میزان مس (۲۸۳ ppm) در پیروکسن مونزودیوریت پورفیری‌های منتهالیه جنوب شرقی محدوده دیده می‌شود. دگرسانی در این ناحیه از نوع سرسیتیک شدید تا متوسط است (شکل ۸).

سرب: دامنه تغییرات میزان سرب از ۴ تا ۱۴۲۷ گرم در تن بوده و بیشترین مقادیر مربوط به نمونه برداشت شده از بخش شمال غربی محدوده است. این نمونه با دگرسانی سیلیسی شدید-تورمالینی متوسط در سنگ مونزونیت پورفیری مرتبط است. پس



شکل ۸. نقشه زئوژیمی خردسنجی- دگرسانی عنصر مس در محدوده کوه زر

Fig. 8. Lithogeochemical-alteration map of copper element in the Kuh Zar area

نمودارهای همبستگی

نمودار پراکنش ترسیم شده است. ضریب همبستگی عناصر در

جدول ۲ آمده است. نتایج حاصل از این بررسی‌ها به شرح زیر

است.

برای تعیین روابط همبستگی عناصر از روش رگرسیون خطی

استفاده شده است. در این راستا با توجه به نوع توزیع عناصر،

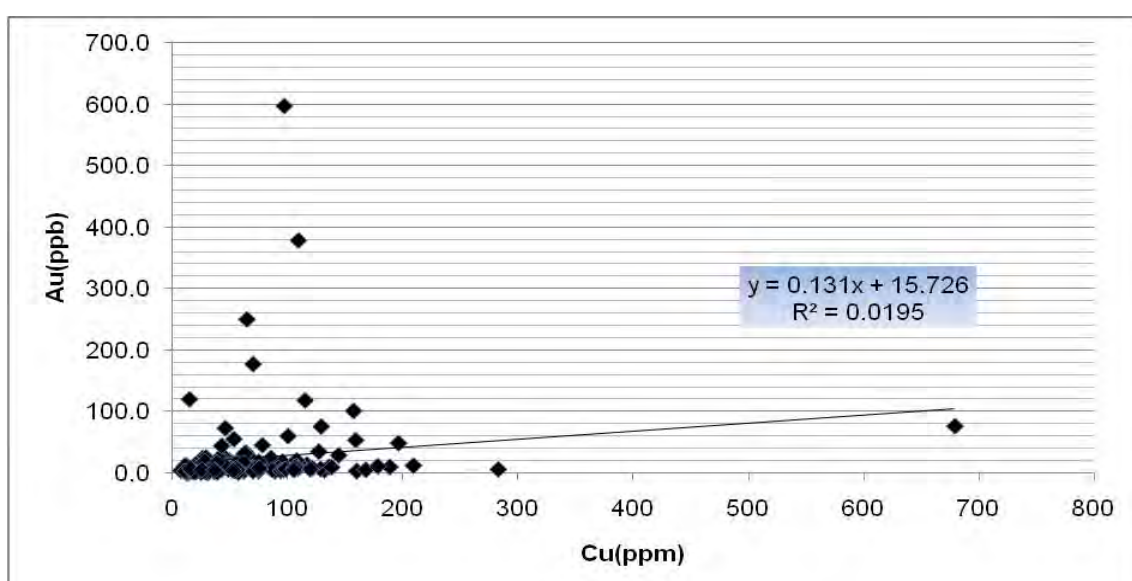
جدول ۲. روابط همبستگی عناصر حاصل از نمونه‌های لیتوژئوشیمیایی در محدوده کوه زر

Table 2. Correlations of elements derived from lithogeochemical samples in the Kuh Zar area

Pair of element	R						
Au-Cu	0.13	Au-As	0.03	Cu-Pb	0.14	Cu-Sb	0.71
Au-Ag	0.04	Au-Sb	0.08	Cu-Zn	0.4	Cu-Hg	0.24
Au-Pb	0.03	Au-Hg	0.07	Cu-Mo	0.07		
Au-Zn	0.02	Cu-Ag	0.37	Cu-As	0.44		

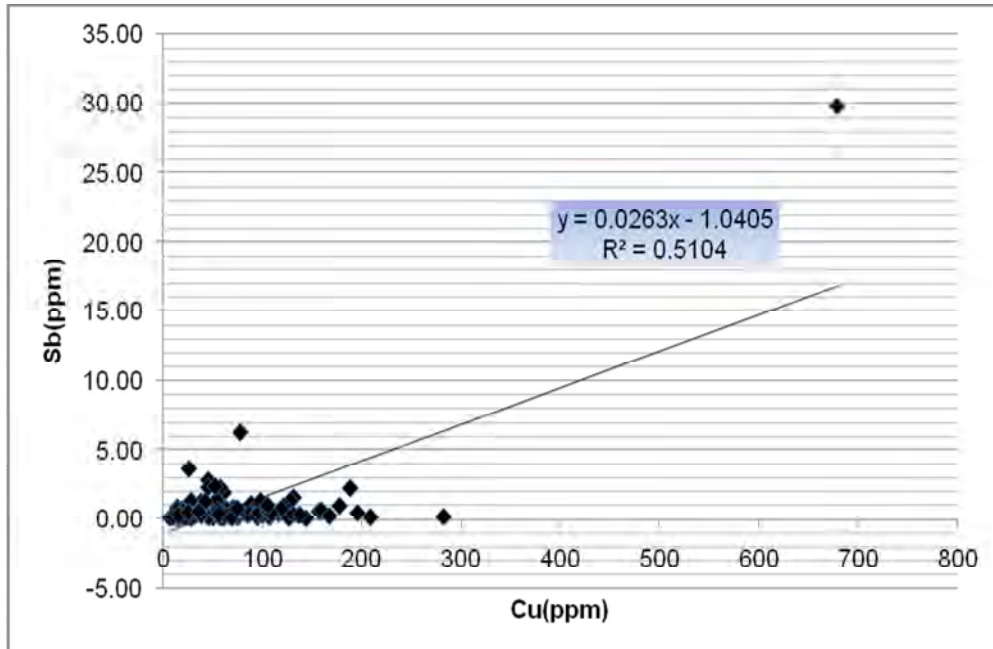
همبستگی مثبت وجود دارد. بیشترین ضریب همبستگی عنصر مس نیز با عنصر آنتیموان (۰/۷۱) است (شکل ۱۰). بدین ترتیب، به نظر می‌رسد به کارگیری عنصر آنتیموان بتواند به عنوان ردباب مس در محدوده کوه زر مفید باشد.

با توجه به جدول ۲، عنصر طلا با عنصر مس همبستگی مثبت نشان می‌دهد (شکل ۹). ضریب همبستگی عنصر طلا با عناصر نقره، آرسنیک، آنتیموان و جیوه پایین است؛ بنابراین عناصر یادشده نمی‌توانند به عنوان ردباب طلا در این منطقه به کار گرفته شوند. بین عنصر مس و عناصر آنتیموان، آرسنیک، روی و نقره



شکل ۹. نمودار همبستگی عناصر طلا و مس در نمونه‌های لیتوژئوشیمیایی محدوده کوه زر

Fig. 9. Correlation diagram of gold and copper elements in the Kuh Zar lithogeochemical samples



شکل ۱۰. نمودار همبستگی عناصر مس و آنتیموان در نمونه‌های لیتوژئوشیمیایی محدوده کوه زر

Fig. 10. Correlation diagram of copper and antimony elements in the Kuh Zar lithogeochemical samples

مونزونیت، کوارتز مونزونیت، مونزودیوریت، دیوریت، سینیت و گرانیت قرار می‌گیرند (شکل A-11). مقایسه نامه‌های به دست آمده از این رده‌بندی با نامه‌های به دست آمده از بررسی‌های سنگ‌شناسی، مقداری تفاوت نشان می‌دهد. این تفاوت به دلیل اندکی دگرسانی و وجود کوارتز ثانویه است. مقدار O_2K این توده‌ها از ۲/۵۸ تا ۲/۸۸ متغیر بوده است و در نمودار مقدار سیلیس در مقابل اکسید پتاسیم (Peccerillo and Taylor, 1976) در محدوده کالک‌آلکالن پتاسیم بالا تا کمی شوшونیتی قرار گرفته‌اند (شکل B-11).

توده‌های نفوذی منطقه بر اساس Al_2O_3/Na_2O+K_2O به $Al_2O_3/CaO+Na_2O+K_2O$ (Shand, 1943) بیشتر در محدوده متا‌آلومینیوس تا کمی پر‌آلومینیوس واقع شده‌اند (شکل C-11). قرار گرفتن نمونه‌های محدوده کوه زر در همان نمودار بالا با اقتباس از چپل و وايت (Chappell and White, 1974) که مرز گرانیتوئیدهای I و S را جدا می‌کند، نشان می‌دهد اغلب نمونه‌های سنگی محدوده کوه زر در محدوده گرانیتوئیدهای I قرار می‌گیرند (شکل C-11).

ژئوشیمی توده‌های نفوذی اکسیدهای اصلی

از مجموع ۲۰۰ نمونه سنگی برداشت شده از توده‌های اسیدی و حدوداً ۳۰٪ بررسی‌های پتروگرافی انجام شد و با توجه به شواهد و روابط صحرایی ده نمونه از واحدهای پیروکسن دیوریت پورفیری، پیروکسن مونزودیوریت پورفیری، هورنبلند دیوریت و بیوتیت گرانودیوریت پورفیری با کمترین میزان دگرسانی برای آنالیز اکسیدهای اصلی انتخاب و توسط دستگاه XRF آنالیز شد. پس از بررسی نتایج آنالیز اکسیدهای اصلی، این نمونه‌ها برای آنالیز عناصر کمیاب و نادر خاکی مورد تجزیه قرار گرفت، نتایج آنالیز در جدول ۳ آمده است.

مقدار SiO_2 در توده‌های نفوذی محدوده مورد بررسی از ۵۲/۲۷ تا ۷۰/۱ در تغییر است. برای نام‌گذاری سنگ‌های اکسیدهای اصلی از نمودار سنگ‌های پلوتونیک Na_2O+K_2O در مقابل SiO_2 (Middlemost, 1994) استفاده شد. بر اساس این رده‌بندی، توده‌های نفوذی محدوده کوه زر در محدوده

جدول ۳. نتایج ژئوشیمیابی اکسیدهای اصلی، عناصر فرعی و نادر خاکی توده‌های نفوذی در محدوده کوه زر. مقادیر اکسیدهای اصلی بر حسب درصد وزنی و عناصر فرعی و نادر خاکی بر حسب ppm است

Table 3. Major and trace elements geochemical results for the intrusive rocks in the Kuh Zar area. Values for major oxides is based on weight percentage and values for trace and rare earth elements are based on ppm.

Sample No	Kp1	Kp52	Kp85	Kp103	Kp67	Kp41	G44	G6	G22	G8
x {	54°39'	54°40'	54°40'	54°40'	54°40'	54°39'	54°39'	54°39'	54°39'	54°39'
	39"	12"	2"	34"	35"	57"	38"	23"	34"	10"
y {	35°26'	35°26'	35°25'	35°25'	35°26'	35°26'	35°27'	35°27'	35°27'	35°27'
	53"	29"	54"	09"	24"	15"	15"	31"	33"	34"
SiO ₂	57.82	59.48	52.27	60.28	60.63	57.77	57.71	68.15	70.1	68.92
TiO ₂	0.8	0.92	0.88	0.94	0.81	0.78	0.8	0.51	0.51	0.52
Al ₂ O ₃	14.22	14.26	13.03	13.68	14.04	13.33	13.66	13.88	12.45	12.87
FeO _t	7.62	7.15	9.84	7.36	6.89	8.82	8.22	4.03	3.56	3.77
MnO	0.14	0.13	0.22	0.11	0.09	0.2	0.14	0.05	0.09	0.05
MgO	5.14	4.16	7.21	2.93	5.05	6.06	4.87	2.19	1.66	2.08
CaO	6.49	5.17	4.72	2.07	1.84	5.68	7.38	1.3	1.13	2.21
Na ₂ O	3.23	3.48	3.63	3.3	3.82	2.32	2.83	3.6	3.34	3.84
K ₂ O	3.23	3.01	3.4	5.88	3.63	3	2.58	4.04	5.79	4.02
P ₂ O ₅	7.62	0.41	0.27	0.23	0.21	8.82	0.27	0.19	0.19	0.2
L.O.I	0.83	1.58	4.3	3.01	2.74	1.58	1.3	1.89	0.9	1.32
Total	106.31	98.17	95.47	96.78	97.01	106.78	98.46	97.94	98.82	98.48
Ba	576	578	786	780	553	532	490	439	825	510
Rb	67.7	57.6	71.6	141.9	94.4	62.8	52	117.1	124.4	101.2
Sr	797.4	869.8	766.2	374.5	681.4	676.4	760.8	389.2	565.4	553.3
Zr	112.4	133.7	83.7	243.3	151.1	102	106	135.1	136.2	126.4
Nb	6	8.9	4.5	13.1	7.5	5.1	5.5	12	7.5	11.6
Ga	16.7	17.1	16.4	17.1	17.3	16.8	16.6	15.7	11.4	14.6
La	22.3	27.1	19.5	36.2	23.1	27.7	21.1	27.9	19.4	26.1
Ce	45.4	52.4	39.1	74.1	46.8	62.4	44.1	49.8	40.7	48
Pr	5.49	6.33	4.88	8.57	5.67	7.81	5.41	5.19	4.75	4.83
Nd	22.1	25.2	19.9	32.2	31.2	33.6	22.2	17.2	18.5	17.2
Sm	4.48	4.65	4.22	6.29	4.57	8.38	4.43	3.08	3.14	2.81
Eu	1.24	1.29	1.21	1.29	1.13	2.31	1.28	0.8	0.61	0.8
Gd	4.04	3.97	3.87	5.86	4.36	9.25	4.16	2.54	2.79	2.67
Tb	0.59	0.54	0.56	0.84	0.63	1.46	0.59	0.35	0.41	0.37
Dy	3.53	3.2	3.34	5.05	3.83	8.64	3.57	2.19	2.8	2.43

داده جدول ۳. نتایج رئوژیمیابی اکسیدهای اصلی، عناصر فرعی و نادر خاکی توده‌های نفوذی در محدوده کوه زر. مقادیر اکسیدهای اصلی بر حسب درصد وزنی و عناصر فرعی و نادر خاکی بر حسب ppm است

Table 3 (continued). Major and trace elements geochemical results for the intrusive rocks in the Kuh Zar area. Values for major oxides is based on weight percentage and values for trace and rare earth elements are based on ppm.

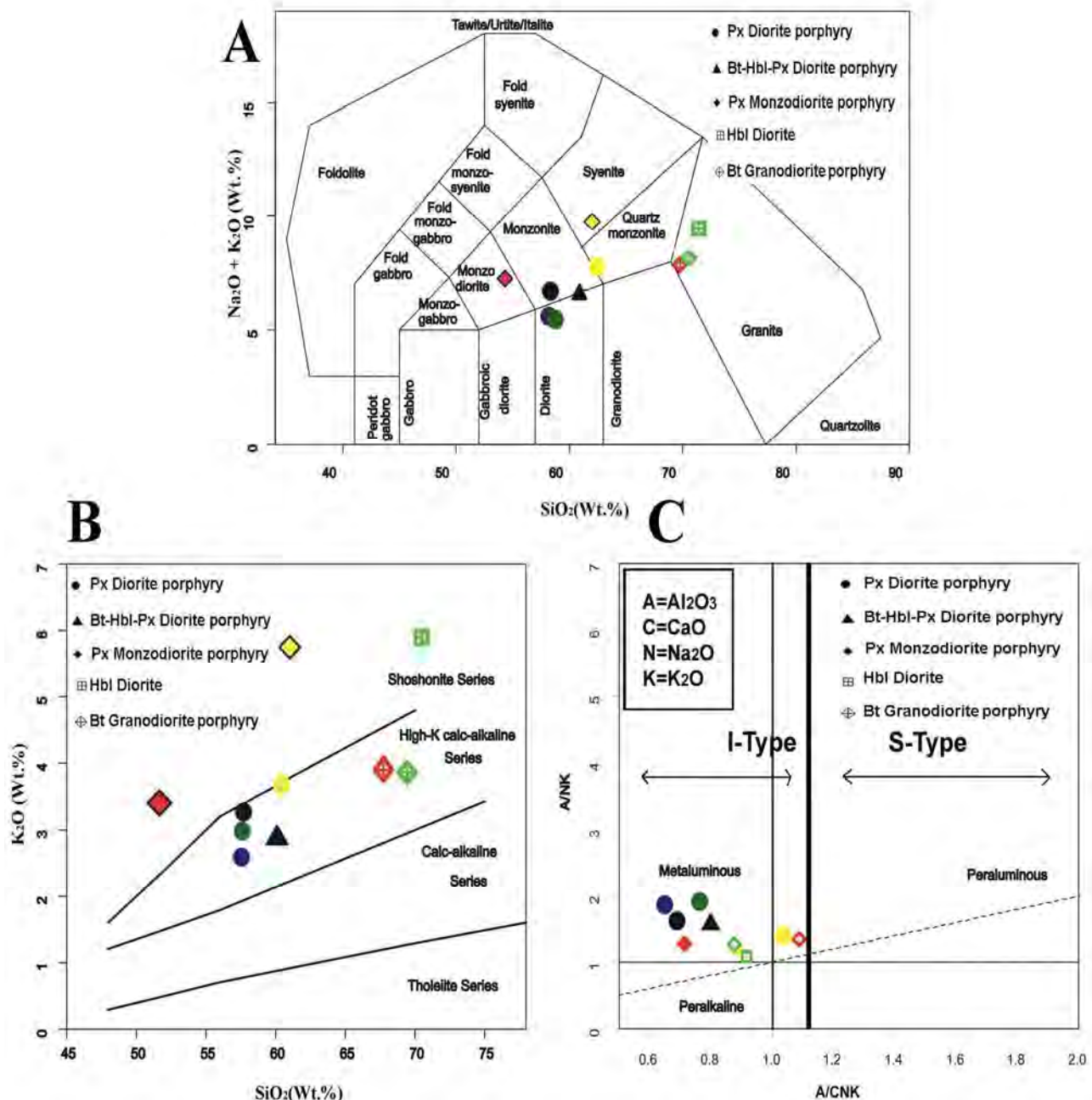
Sample No	Kp1	Kp52	Kp85	Kp103	Kp67	Kp41	G44	G6	G22	G8
x {	54°39' 39"	54°40' 12"	54°40' 2"	54°40' 34"	54°40' 35"	54°39' 57"	54°39' 38"	54°39' 23"	54°39' 34"	54°39' 10"
y {	35°26' 53"	35°26' 29"	35°25' 54"	35°25' 09"	35°26' 24"	35°26' 15"	35°27' 15"	35°27' 31"	35°27' 33"	35°27' 34"
Ho	0.63	0.58	0.61	0.96	0.71	1.46	0.65	0.38	0.5	0.43
Er	1.9	1.64	1.81	2.72	2.04	3.73	1.91	1.23	1.53	1.37
Tm	0.27	0.25	0.27	0.41	0.32	0.5	0.28	0.18	0.25	0.19
Yb	1.83	1.68	1.6	2.72	2.07	2.96	1.91	1.3	1.69	1.43
Lu	0.29	0.24	0.26	0.43	0.33	0.41	0.29	0.2	0.25	0.2
Y	18.8	17	17.7	27.2	20.9	41.2	19.7	12.6	14.5	13.2
Eu/Eu*	0.89	0.92	0.92	0.65	0.77	0.8	0.91	0.87	0.63	0.89
(La/Yb)N	8.22	10.88	8.22	8.97	7.52	6.31	7.45	14.47	7.74	12.31
(Ce/Yb)N	6.42	8.07	6.32	7.05	5.85	5.45	5.97	6.23	9.91	8.68

Nb (Reagan and Gill, 1989; Martin, 1999). میزان کم به فرآیندهای تهی شدگی در گوشته هم نسبت داده شده است (Gust et al., 1977; Woodhead et al., 1993). به اعتقاد ادواردز و همکاران (Edwards et al., 1994)، علت تهی شدگی Ti در مagma تیسم، مرتبط با فروراش و فوگاسیته اکسیژن است. وقتی فوگاسیته اکسیژن بالا باشد، دمای زیادتری لازم است تا فازهای حاوی Ti به مذاب‌های مشتق شده از منطقه فروراش وارد شود. بنابراین Ti وارد نشده است و این عنصر بی‌هنگاری منفی نشان می‌دهد. همچنین بی‌هنگاری منفی Ti می‌تواند منعکس کننده نقش اکسیدهای Fe-Ti باشد (Rollinson, 1993). به نظر می‌رسد بالابودن فوگاسیته اکسیژن، عامل تهی شدگی Ti در Magma تیسم منطقه کوه زر باشد. تهی شدگی فسفر مربوط به تفریق آپاتیت از Magma است (Pearce and Parkinson, 1993). کاهیدگی در باریم نشانه حضور پتابسیم فلدوپار در خاستگاه است.

عناصر فرعی و نادر خاکی

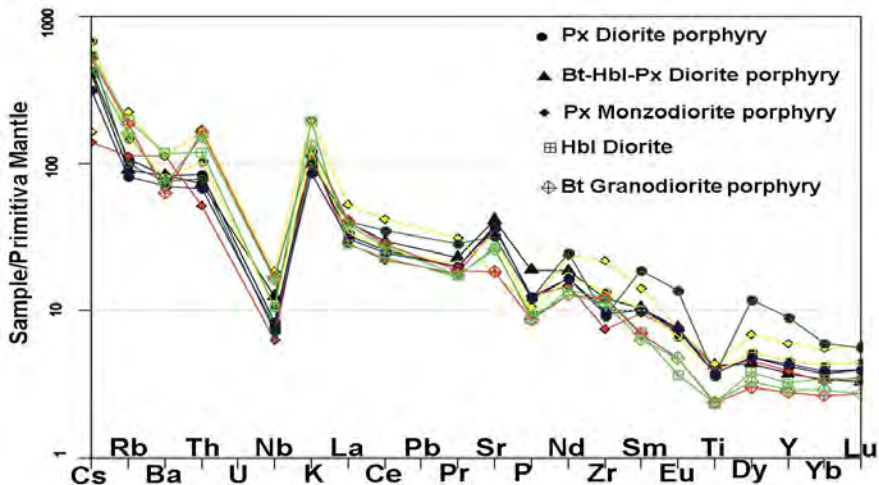
نمودار عنکبوتی عناصر فرعی و برخی عناصر کمیاب که به گوشته اولیه (Sun and McDonough, 1989) بهنجار شده‌اند در شکل ۱۲ نشان داده شده است. تهی شدگی مشخصی در عناصر با شدت میدان زیاد نظری Nb, Ti و P دیده می‌شود و در مقابل غنی شدگی در عناصر لیتوفیل بزرگ یون مثل Cs, K, Rb, Sr و Th دیده می‌شود. غنی شدگی در LILE و عناصر نادر خاکی سبک و تهی شدگی در HFSE از نشانه‌های Magma مرتبط با پهنه فروراش است (Gill, 1981; Pearce, 1981; Rollinson, 1993).

کاهیدگی در Nb از ویژگی‌های Magma های مشتق شده از پوسته اقیانوسی در پهنه فروراش است (Wilson, 1989). میزان پایین Ti, Nb و Ta می‌تواند نتیجه وجود پلاژیوکلاز و اکسیدهای Fe-Ti-Nb-Ti دار در باقی‌مانده Magma مادر در Pearce and Parkinson, 1993; (Pearce and Parkinson, 1993).



شکل ۱۱. A: نام‌گذاری توده‌های نفوذی محدوده کوه زر در نمودار تفکیک $\text{Na}_2\text{O}+\text{K}_2\text{O}$ در مقابل SiO_2 (Middlemost, 1994). B: نمودار تغییرات K_2O در برابر SiO_2 برای تفکیک دسته‌های تولثیتی، کالک‌آلکالن، کالک‌آلکالن با پتانسیم بالا و شوشوونیتی توده‌های نفوذی محدوده کوه زر (Peccerillo and Taylor, 1976) و C: ساختار اشباع از آلومینیوم در توده‌های نفوذی محدوده کوه زر با استفاده از نمودار خطچین در بخش $\text{Al}_2\text{O}_3/\text{CaO}+\text{Na}_2\text{O}+\text{K}_2\text{O} = 1/1$ جداینده گرانیتوئیدهای نوع I از نوع S است. محدوده‌ها از چپل و وايت (Chappell and White, 1974) محدوده کوه زر است.

Fig. 11. A:Classification of the Kuh Zar intrusive rocks in SiO_2 vs. $\text{Na}_2\text{O}+\text{K}_2\text{O}$ diagram (Middlemost, 1994), B: Variation diagram of K_2O vs. SiO_2 to existence of Tholeiitic, Calc- alkaline, High K-calc-alkaline and Shoshonite series of the Kuh Zar intrusive rocks (Peccerillo and Taylor, 1976), and C: Aluminum saturation index of the Kuh Zar intrusive rocks in $\text{Al}_2\text{O}_3/\text{Na}_2\text{O}+\text{K}_2\text{O}$ vs. $\text{Al}_2\text{O}_3/\text{CaO}+\text{Na}_2\text{O}+\text{K}_2\text{O}$ diagram (Shand, 1943), the dashed line ($\text{A}/\text{CNK} = 1.1$) divides the I-type granitoid field from the S-type granitoid field of Chappell and White (1974).

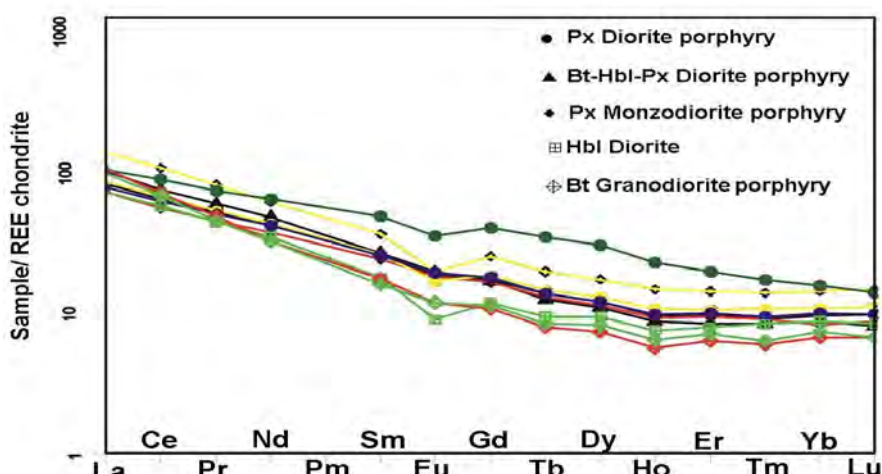


شکل ۱۲. نمودار عنکبوتی عناصر کمیاب توده‌های نفوذی محدوده کوه زر، بهنجارشده با گوشته اولیه از سان و مکدونالد (Sun and McDonough, 1989)

Fig. 12. Trace element spider diagram of the intrusive rocks in the Kuh Zar area, (normalization values are from Sun and McDonough, 1989)

نداشته است. این الگوی عناصر نادر خاکی ویژه ماگماهای تشکیل شده در پهنه فرورانش و در کمان‌های آتشفسانی کالک‌آلکالن حاشیه فعال قاره است (Gill, 1981; Pearce, 1983; Wilson, 1989; Walker et al., 2001 منفی Eu/Eu*) برابر با ۰/۹۲ تا ۰/۸ بدلیل حضور پلاژیوکلاز در سنگ منشا ماگماست.

الگوی عناصر نادر خاکی که به کندریت نرمالایز شده‌اند (Boynton, 1984)، غنی‌شدگی نسبی از LREEها نسبت به الگوی عناصر نادر خاکی متوسط و سنگین نشان می‌دهد (شکل ۱۳). غنی‌شدگی ملایم در REEها با مقدار اندک (La/Yb)_N نمونه‌ها (برابر با ۶/۳۱ تا ۱۴/۴۷) مورد تأیید است (جدول ۳) و نشان‌دهنده این است که گارنت در منطقه ذوب‌بخشی حضور



شکل ۱۳. نمودار عنکبوتی عناصر نادر خاکی توده‌های نفوذی محدوده کوه زر، بهنجارشده با کندریت از بوینتون (Boynton, 1984)

Fig. 13. REE spider diagram of the intrusive rocks in the Kuh Zar area (normalization values are from Boynton, 1984)

می‌دهد که ماغما از قسمت‌های بالایی گوشه (عمق کم) یا نسبت ذوب زیاد ریشه گرفته است. در مقابل، ماغماهایی با نسبت بالای Ce/Yb (Ce/Yb) نشان‌دهنده این است که ماغما از عمق زیاد (گستره پایداری گارنت) و نسبت ذوب کم (فسار زیاد) ریشه گرفته است (Cotton et al., 1995). چنان‌که در جدول ۳ دیده می‌شود، این نسبت در توده‌های نفوذی منطقه پایین بوده (۵/۴ تا ۹/۹) و بنابراین خاستگاه ماغمای مولد توده‌های نفوذی منطقه از بخش‌های بالایی گوشه با میزان ذوب بالا بوده است و نشان‌دهنده تشکیل نشدن ماغما در عمق پایداری گارنت است. با توجه به موازی بودن روندهای وابسته به توده‌های نفوذی منطقه، می‌توان به هم خاستگاه بودن آنها پی برد.

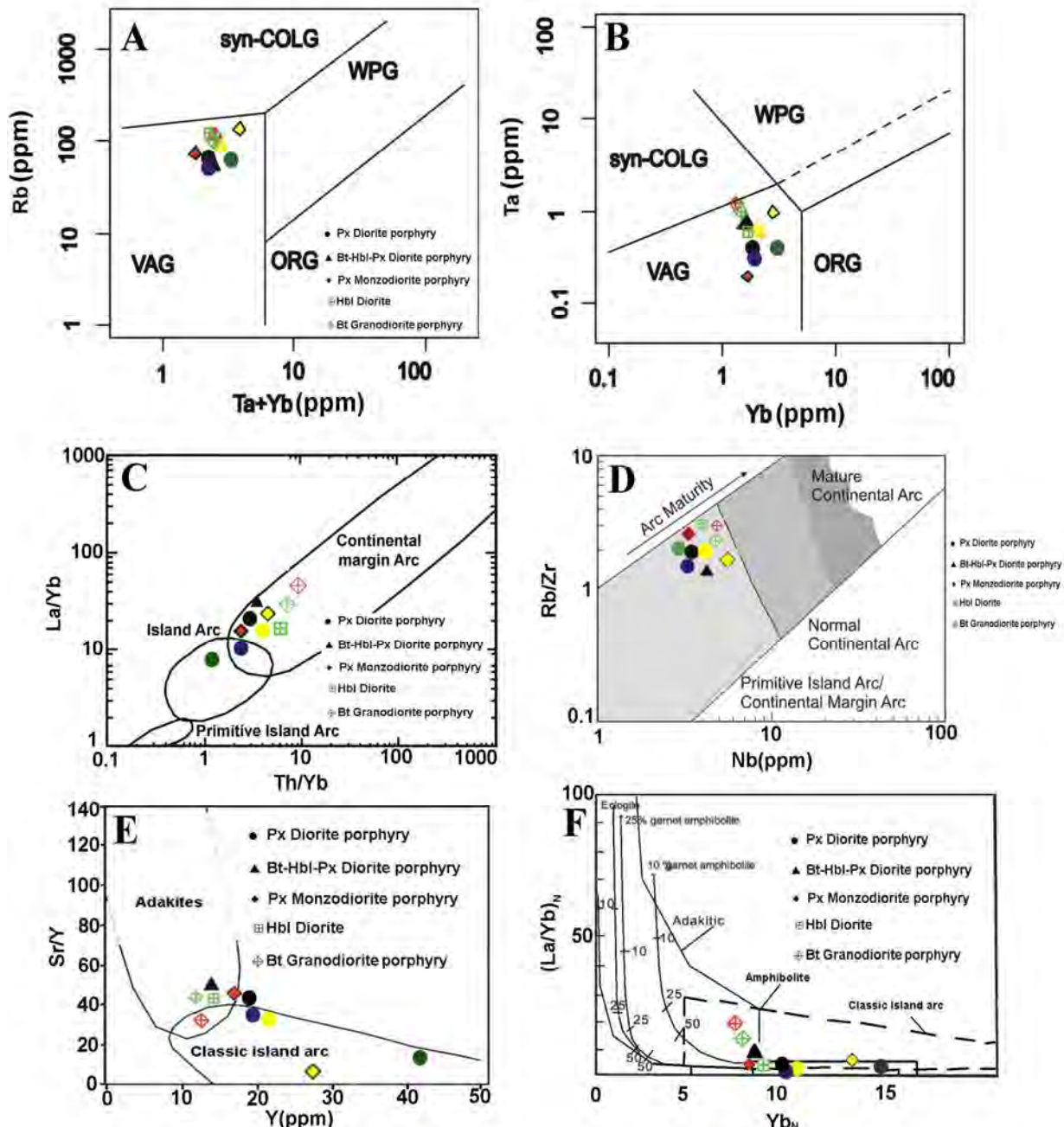
مقدار نسبت Sr/Y توده‌ها زیر ۶۰ بوده و همچنین میزان Y بین ۱۷ تا ۴۱ گرم در تن است. بر اساس نمودار Sr/Y در مقابل Y (Defant and Drummond, 1990) نفوذی بیشتر در محیط ماغماهایی با ماهیت کالک‌آلکالن معمولی قرار می‌گیرند (شکل ۱۴-۱۴). نمودار La/Yb در مقابل Yb (Martin, 1995) نیز نشان می‌دهد توده‌ها ماهیت ماغمای کالک‌آلکالن معمولی را دارد و ماهیت آدکیتی ندارد. بر اساس این نمودار، توده‌های نفوذی منطقه می‌تواند از ذوب‌بخشی آمفیولیت تشکیل شده باشد (شکل ۱۴-۱۴). از لحاظ موقعیت زمین‌ساختی، کانی‌سازی در منطقه کوه زر در جایگاه زمین‌ساختی مناسب (پهنه ترود- چاه شیرین) و در بخش شرقی کمربند ماغمایی البرز شکل گرفته است. به عقیده حسن‌زاده (Hassanzadeh, 2001)، کمربندهای ماغمایی البرز و ارومیه- دختر، هر دو بخش‌های جدا شده از کمان ماغمایی واحد نشوتیس هستند. مجموعه ماغمایی البرز به فرورانش لیتوسفر اقیانوسی تیس به زیر خردقاره ایران مرکزی و به دنبال برخورد قاره‌ای عربستان و خردقاره ایران در کرتاسه پسین- سنوزوئیک پیشین نسبت داده می‌شود (Berberian and Berberian, 1981; Berberian et al., 1982; Alavi, 1994; Golonka, 2004). در واقع کمربند ماغمایی البرز در یک حوضه کششی پشت کمانی ناشی از فرورانش عمیق صفحه عربستان به زیر صفحه ایران مرکزی تشکیل شده است.

بحث و نتیجه گیری

خاستگاه و موقعیت زمین‌ساخت توده‌های نفوذی کانسار کوه زر

عناصر نادر خاکی کمتر از عناصر دیگر در معرض هوایگی و فرآیندهای هیدروترمالی قرار می‌گیرند. بنابراین، الگوی فراوانی آنها می‌تواند نشانه‌هایی از خاستگاه سنگ‌ها را اثبات کند (Rollinson, 1993). بر اساس میزان عناصر فرعی Y , Ta , Nb , Rb , Nb , Rb , Nb , Rb , Nb , Rb , Nb ، موقعیت زمین‌ساختی تشکیل توده‌های نفوذی محدوده کوه زر، کمربندهای آتشفشاری پهنه فرورانش حاشیه قاره (VAG) است (شکل ۱۴-۱۴ A و B). توده‌های نفوذی محدوده‌های کوه زر بر اساس نسبت Th/Yb در مقابل La/Yb (Condie, 1989) نیز در موقعیت زمین‌ساختی کمان حاشیه قاره جای می‌گیرند (شکل C-۱۴). براون و همکاران (Brown et al., 1984) دریافتند که با افزایش بلوغ، گرانیتوئیدهای کمان آتشفشاری از عناصر Rb , Sr , P , Zr , Ti , Ta , Nb , Hf , U , Th ، Y غنی و از عناصر Rb و Ba تهی می‌شوند. همچنین نشان دادند که نمودار دو متغیره نسبت Rb/Zr در مقابل Nb همبستگی مثبت نشان می‌دهد که در آن مقادیر با افزایش بلوغ کمان افزایش می‌یابند. شکل D-۱۴ نمودار Rb/Zr در مقابل Nb را برای توده‌های نفوذی محدوده مورد بررسی نشان می‌دهد. چنان‌که نشان داده شده است، نمونه‌های مورد بررسی در محدوده جزایر کمان حاشیه قاره قرار گرفته‌اند. از نسبت عناصر کمیاب Y/Zr می‌توان برای تشخیص محیط‌های زمین‌ساختی مختلف استفاده کرد (Pearce and Norry, 1979). در واقع مقادیر Y/Zr بیشتر از ۳، مربوط به کمان‌های آتشفشاری قاره‌ای و مقادیر کمتر از ۳ مربوط به کمان‌های آتشفشاری اقیانوسی هستند. در توده‌های نفوذی محدوده کوه زر این نسبت بین ۳ تا ۱۰ بوده که نشان‌دهنده شباهت محیط تشکیل نمونه‌ها به کمان‌های آتشفشاری قاره‌ای است.

نسبت Ce/Yb (Ce/Yb) نیز یانگر عمق و میزان ذوب ماغمای مادر است (Cotton et al., 1995). مقدار کم این نسبت نشان



شکل ۱۴. A و B: گرانیت‌های محدوده کوه زر متعلق به منطقه کمان آتشفشاری است. برگرفته از پیرس و همکاران (Pearce et al., 1984) =VAG: گرانیت‌های کمان آتشفشاری، WPG: گرانیت‌های درون صفحه‌ای، syn-COLG: گرانیت‌های درون صفحه‌ای، ORG: گرانیت‌های هم‌زمان با بروخورد، C: نمودار La/Yb در مقابل Th/Yb (Condie, 1989)، D: نمودار Rb/Zr در مقابل Nb (Brown et al., 1984) برای جدایش محیط‌های زمین‌ساختی مختلف و موقعیت نمونه‌های محدوده کوه زر در نمودار La/Yb در مقابل Y (Defant and Drummond, 1990) و F: موقعیت توده‌های نفوذی محدوده کوه زر در نمودار (La/Yb)_N در مقابل Yb_N (Martin, 1995) (Drummond, 1990)

Fig. 14. A and B: The Kuh Zar granitoids belong to volcanic arc granitoid (Pearce et al., 1984). VAG: volcanic arc granitoid, WPG: within plate granitoid, ORG: orogeny, syn-COLG: syn collision, C: La/Yb vs. Th/Yb diagram (Condie, 1989), D: Rb/Zr vs. Nb diagram (Brown et al., 1984) for discrimination of different tectonic environments and location of Kuh Zar area samples, E: Plot of Kuh Zar intrusive rocks on Sr/Y vs. Y diagram (Defant and Drummond, 1990), and F: Plot of Kuh Zar intrusive rocks on (La/Yb)_N vs. Yb_N diagram (Martin, 1995)

نیمه عمیق با ترکیب دیوریتی به صورت استوک و دایک در توده‌های مونزونیتی نفوذ کرده‌اند، از لحاظ سنی جوان‌تر بوده و بدون کانی‌سازی هستند.

به عقیده سیلیتو (Sillitoe, 2008) و سیلیتو و هدنکوئیست (Sillitoe and Hedenquist 2003)، کانسارهای اپی‌ترمال سولفید بالا می‌توانند در بالای سیستم‌های پورفیری تشکیل شوند. حضور کانسارهای اپی‌ترمال کمربند ترود-چاه شیرین نظیر کانسارهای گندی، چشم‌حافظ، چاه موسی، و همچنین وسعت و تنوع دگرسانی‌ها در کل این کمربند می‌تواند نشان‌دهنده یک سیستم پورفیری در اعماق این منطقه باشد؛ لذا با توجه به نتایج این پژوهش می‌توان کانسارهای اپی‌ترمال کمربند ترود-چاه شیرین را با دیدگاه ذخایر اپی‌ترمال مرتبط با سیستم‌های پورفیری بازنگری کرد و از نظر ذخایر طلا-مس پورفیری در عمق نیز مورد کاوش مجدد قرار داد.

قدرتدانی

این پژوهه با حمایت مالی دانشگاه فردوسی مشهد در ارتباط با طرح پژوهشی شماره ۲۷۱۲۶/۳ در تاریخ ۹۲/۰۲/۲۰ انجام شده است. از شرکت تجزیه گندگان کانسارهای بلورین آمیس شرق برای انجام تجزیه XRF و شرکت طلای ایران برای فراهم کردن شرایط کمپ و اسکان قدردانی می‌شود.

مدل کانی‌سازی در کانسار کوه زر

سیستم‌های مس پورفیری در بالای پهنه فرورانش و در حاشیه صفحات همگرا تشکیل می‌شوند. نفوذی‌های پورفیری در کانسارهای مس پورفیری دارای ترکیب دیوریت و کوارتز دیوریت، گرانوودیوریت تا کوارتز مونزونیت (مونزو-گرانیت)، دیوریت آلکالن، مونزونیت و بهندرت سینیت هستند. الگوی پهنه‌بندی دگرسانی-کانی‌سازی کانسارهای مس پورفیری از پایین به بالا شامل سدیک-کلسیک، پتابسیک، کلریت-سرسیت، سرسیت و آژیلیک پیش‌رفته است. دگرسانی کلریتی و بروپلیتیک به ترتیب در سطوح کم عمق و عمیق‌تر توسعه می‌یابند (Sillitoe, 2010).

سیستم کانی‌سازی در کانسار طلا-مس کوه زر با توجه به موارد یادشده در بالا از جمله موقعیت زمین‌ساختی مناسب و تشکیل ماگما در پهنه فرورانش، کانی‌سازی دانه پراکنده پیریت در متن سنگ‌های مونزونیت پورفیری به عنوان سنگ منشأ کانی‌سازی، دگرسانی گستردۀ سرسیتیک در این توده‌های نیمه عمیق، حضور فیروزه به عنوان مهمترین کانی‌سازی مس در پهنه اکسیدان (وجود معدن فیروزه با غو در شمال محدوده اکتسافی) و بی‌هنجری‌های ژئوشیمیایی عنصر طلا به میزان حداقل ۵۹۸ میلی گرم در تن و عنصر مس به میزان حداقل ۶۷۹ گرم در تن در منطقه مورد بررسی مرتبط با توده‌های نفوذی، به نظر می‌رسد احتمالاً از نوع طلا-مس پورفیری باشد. از آنجا که توده‌های

References

- Adams, S.S., 1985. Using Geological Information to Develop Exploration Strategies For Epithermal Deposits. *Reviews in Economic Geology*, 2(1): 273–298.
- Ahmadi Shad, A., 1998. Mineralogy, Alteration and lithogeochemical study in gold of the Baghu area (Kuh Zar, Damghan). M.Sc. Thesis, Shahid Beheshti University, Tehran, Iran, 201 pp. (in Persian with English abstract)
- Alavi, M., 1991. Tectonic map of the Middle East, scale 1:5,000,000. Geological Survey of Iran.
- Alavi, M., 1994. Tectonics of the Zagros orogenic belt of Iran: new data and Interpretations. *Tectonophysics*, 22(1): 211–238.
- Berberian, F. and Berberian, M., 1981. Tectono-plutonic episodes in Iran. In: F.M. Delany and H.K. Gupta (Editors), *Zagros Hindukosh. Himalaya Geodynamic Evolution*. American Geophysical Union, Washington DC, pp. 5–32.
- Berberian, F., Muir, I.D., Pankhurst, R.J. and Berberian, M., 1982. Late Cretaceous and early Miocene Andean type plutonic activity in northern Makran and central Iran. *Journal of the Geological Society*, 139(5): 605–614.
- Boynton, W.V., 1984. Cosmochemistry of the rare

- earth elements: meteorite studies. In: P. Henderson (Editor), *Rare Earth Element Geochemistry*. Elsevier, Amsterdam, pp. 63–114.
- Brown, G.C., Thorpe, R.S. and Webb, P.C., 1984. The geochemical characteristics of granitoids in contrasting arcs and comments on magma sources. *Journal of Geological Society*, 141(3): 413–426.
- Chappell, B.W. and White, A.J.R., 1974. Two contrasting granite types. *Pacific Geology*, 8(2): 173–174.
- Condie, K.C., 1989. Geochemical changes in basalts and andesites across the Archean–Proterozoic boundary, identification and significance. *Lithos*, 23(1–2): 1–18.
- Cotton, J., Le Dez, A., Bau, M., Caroff, M., Maury, R.C., Dulski, P., Fourcade, S., Bohn, M. and Brousse, R., 1995. Origin of anomalous rare earth element and yttrium enrichments in subaerially exposed basalts, evidence from French Polynesia. *Chemical Geology*, 119(1–4): 115–138.
- Darvish Zadeh, A., 1992. *Geology of Iran*. Amir Kabir, Tehran, 901 pp. (in Persian)
- Defant, M.J. and Drummond, M.S., 1990. Derivation of some modern arc magmas by melting of young subducted lithosphere. *Nature*, 347(6294): 662–665.
- Edwards, C., Menzeies, M. and Thirwoll, M., 1994. Evidence from muriah, Indonesia, for interplay of supra subduction zone and inter place processes in the genesis of potassic alkaline magmas. *Journal of Petrology*, 32(3): 555–592.
- Eshragi, S.A. and Jalali, A., 2006. Geological map of Moalleman, scale 1:100,000. Geological Survey of Iran.
- Farhadi, R., 2007. Exploration of potash rock in the Pol salt dome, Zagros belt. 25th Symposium of Geosciences, Geological Survey & Mineral Explorations of Iran, Tehran, Iran. (in Persian with English abstract).
- Gill, J. B., 1981. *Orogenic andesites and plate tectonics*. Springer, Berlin, 390 pp.
- Golonka, J., 2004. Plate tectonic evolution of the southern margin of Eurasia in the Mesozoic and Cenozoic. *Tectonophysics*, 381(1–4): 235–273.
- Gust, D.A., Arculus, R.A. and Kersting, A.B., 1977. Aspects of magma sources and processes in the Honshu arc. *The Canadian Mineralogist*, 35(2): 347–365.
- Hassanzadeh, J., 2001. Exhumation of the west-central Alborz Mountains, Iran, Caspian subsidence, and collision-related tectonics. *Geology*, 29(6): 559–562.
- Khalili, K. and Mackizadeh, M.A., 2012. The occurrence of tourmaline in Kuh Zar (Baghoo) Au-Cu mine, south of Semnan province. *Petrology*, 3(9): 57–70.
- Liaghat, S., sheykhi, V. and Najjaran, M., 2008. Petrology, gheochemistry and genesis of Baghu turquoise, Damghan. *Journal of Science, University of Tehran*, 34(2): 133–142. (in Persian with English abstract)
- Martin, H., 1995. The Archaean grey gneisses and the genesis of the continental crust. In: K.C. Condie (Editor), *The Archaean crustal evolution*. Elsevier, Amsterdam, pp. 205–259.
- Martin, H., 1999. Adakitic magmas: modern analogues of Archaean granitoids. *Lithos*, 46(3): 411–429.
- Mehrabi, B. and Ghasemi Siani, M., 2010. Mineralogy and economic geology of Cheshmeh Hafez polymetallic deposit, Semnan province, Iran. *Journal of Economic Geology*, 2(1): 1–20. (in Persian with English abstract)
- Middlemost, E.A.K., 1994. Naming materials in the magma/igneous rock system. *Earth-Sciences Reviews*, 37(3–4): 215–224.
- Najjaran, M., 2000. Geochemistry and genesis of Baghu turquoise deposit (Damghan). M.Sc. Thesis, Shiraz University, Shiraz, Iran, 150 pp. (in Persian with English abstract)
- Pearce, J.A., 1983. Role of the sub-continental lithosphere in magma genesis at active continental margins. In: C.J. Hawkesworth and M.J. Norry (Editors), *Continental Basalts and Mantle Xenoliths*. Shiva, Nantwich, pp. 230–249.
- Pearce, J.A., Haris, N.B.W. and Tindle, A.G., 1984. Trace element discrimination diagrams for the tectonic interpretation of granitic rocks. *Journal of Petrology*, 25(4): 956–983.
- Pearce, J.A. and Norry, M.J., 1979. Petrogenetic implications of Ti, Zr, Y and Nb variation in volcanic rocks. *Contributions to Mineralogy and Petrology*, 69(1): 33–47.
- Pearce, J.A. and Parkinson, I.J., 1993. Trace element models for mantle melting: application

- to volcanic arc petrogenesis. In: H.M. Prichard (Editor), *Magmatic Processes in Plate Tectonics*. Geological Society, London, pp. 373–403.
- Peccerillo, A. and Taylor, S.R., 1976. Geochemistry of Eocene calc-alkaline volcanic rocks from the Kastamonu area, northern Turkey. *Contributions to Mineralogy and Petrology*, 58(1): 63–81.
- Rashid Nejad Omran, N., 1993. Petrography and magmatic changes study and Relationship with Au mineralization in Baghu area, (S-SE of Damghan). M.Sc. Thesis, Tarbiat Moallem University, Tehran, Iran, 256 pp. (in Persian with English abstract)
- Reagan, M.K. and Gill, J.B., 1989. Coexisting calc-alkaline and high niobium basalts from Turrialba volcano, Costa Rica: Implication for residual titanates in arc magma source. *Journal of Geophysical Research*, 94(B4): 4619–4633.
- Rollinson, H.R., 1993. *Using Geochemical Data: evaluation, presentation, interpretation*. Longman Science and Technical, Routledge, 352 pp.
- Roohbakhsh, P., Karimpour, M.H. and Malekzadeh Shafaroudi, A., 2016. Comparison of remote sensing processing and field study for mineralogy of alteration zones in Kuh Zar Au- Cu deposit, Damghan. 8th Symposium of Iranian Society of Economic Geology, University of Zanjan, Zanjan, Iran. (in Persian with English abstract)
- Shakeri, A., 2000. Geochemistry and genesis of Kuh Zar Au deposit (Baghu). M.Sc. Thesis, Shiraz University, Shiraz, Iran, 295 pp. (in Persian with English abstract)
- Shand, S.J., 1943. *Eruptive Rocks. Their Genesis, Composition, Classification, and Their Relation to Ore-Deposits with a Chapter on Meteorite*. Thomas Murby, London, 488 pp.
- Sillitoe, R.H., 2008. Major gold deposits and belts of the North and South American Cordillera: Distribution, tectonomagmatic settings, and metallogenic considerations. *Economic Geology*, 103(4): 663–687.
- Sillitoe, R.H., 2010. Porphyry Copper Systems. *Economic Geology*, 105(1): 3–41.
- Sillitoe, R.H. and Hedenquist, J.W., 2003. Linkages between volcanotectonic settings, ore-fluid compositions, and epithermal precious metal deposits. *Society of Economic Geologists Special Publication*, 10(1): 315–343.
- Sun, S.S. and McDonough, W.F., 1989. Chemical and isotopic systematic of oceanic basalts: implications for mantle composition and processes. In: A.D. Saunders and M.J. Norry (Editors), *Magmatism in the Ocean Basins*. Geological Society of London Special Publication, London, pp. 313–345.
- Walker, J.A., Patino, L.C., Carr, M.J. and Feigenson, M.D., 2001. Slab control over HFSE depletions in Central Nicaragua. *Earth and Planetary Science Letters*, 192(4): 533–543.
- Whitney, D.L. and Evans, B.W., 2010. Abbreviations for names of rock-forming minerals. *American Mineralogist*, 95(1): 185–187.
- Wilson, M., 1989. *Igneous Petrogenesis: A Global Tectonic Approach*. Chapman and Hall, London, 446 pp.
- Woodhead, J., Eggin, S. and Gamble, J., 1993. High field strength and transition element systematic in island arc and back-arc basin basalts: evidence for multi-phase melt extraction and a deoleted mantle wedge. *Earth and Planetary Science Letters*, 114(4): 491–504.



Geology, mineralization, geochemistry and petrology of intrusions in the Kuh Zar Au-Cu deposit, Damghan

Payam Roohbakhsh¹, Mohammad Hassan Karimpour^{2*} and Azadeh Malekzadeh Shafaroudi²

1) Department of Geology, Faculty of Science, Ferdowsi University of Mashhad, Mashhad, Iran

2) Research Center for Ore Deposit of Eastern Iran, Ferdowsi University of Mashhad, Mashhad, Iran

Submitted: May 9, 2017

Accepted: Oct. 3, 2017

Keywords: Subvolcanic rocks, Geochemistry, Au-Cu Porphyry, Kuh Zar, Torud-Chah Shirin

Introduction

Kuh Zar Au-Cu deposit is located in the central part of the Torud-Chah Shirin Volcanic-Plutonic Belt, 100 km southeast of the city of Damghan. Mineralization including quartz-base metal veins are common throughout this Cenozoic volcano-plutonic belt (Liaghat et al., 2008; Mehrabi and Ghasemi Siani, 2010). The major part of the study area is covered with Cenozoic pyroclastic and volcanic rocks that are intruded by subvolcanic rocks. This paper aims to study the geological, geochemical and petrogenesis of the area using exploration keys for new mineral deposits in the Torud-Chah Shirin zone.

Materials and methods

To better understand the geological units and identify the alteration zones of the area, 200 rock samples were collected from the field and 132 thin sections with 15 polished thin sections were prepared for petrography and mineralization studies. Ten samples of intrusions with the least alteration were analyzed using the XRF at the East Amethyst Laboratory in Mashhad, Iran. These samples were also analyzed for trace and rare earth elements using ICP-MS, following a lithium metaborate/tetraborate fusion in the Acme Analytical Laboratories Ltd, Vancouver, Canada. 137 geochemistry samples were prepared by the chip composite method of alteration and mineralization zones and were analyzed in the Acme laboratory by Aqua Regia AQ250.

Results

The geology of the area consists of pyroclastic (crystal tuff) and volcanic rocks with andesite and latite composition, which were intruded by subvolcanic intrusive rocks with porphyritic texture and monzonitic composition. Monzonite rocks were intruded by younger subvolcanic units with dioritic composition. The intrusion of monzonitic pluton and stocks led to the formation of QSP, propylitic, carbonate and silification-tourmaline broad alteration zones in the area. Monzonite rocks accompanied with disseminated mineralization of about 1 to 10% of pyrite and these sulfides have been converted to secondary iron oxides such as goethite, hematite and limonite. Lithogeochemical exploration revealed Au (up to 598 ppb), Ag (up to 3747 ppb), Cu (up to 679 ppm), Pb (up to 1427 ppm) and Zn (up to 1013 ppm) anomalies. Based on geochemical studies, intrusive rocks have characteristics of high-K Calc-alkaline to slightly shoshonitic and they are within metaluminous to the slightly peraluminous range. Enrichment of LREE versus HREE, enrichment of LILE and depletion in HFSE indicate that the magma was formed in the subduction zones. The negative Eu anomaly is due to the presence of plagioclase as a residual mineral in the magma source. The parent magma is probably formed by the partial melting of amphibolites. The presence of monzonite porphyry source rock, QSP and propylitic alterations, pyrite disseminated mineralization and geochemical anomalies of Au and Cu in the Kuh

*Corresponding authors Email: karimpur@um.ac.ir

DOI: 10.22067/econg.v10i1.64316

Zar deposit represents Au-Cu porphyry mineralization in the area.

Discussion

Tectonic setting discrimination diagrams (Pearce et al., 1984) show that subvolcanic rocks plot almost on the fields of the volcanic arc granites (VAG). In the Rb/Zr vs. Nb diagram from (Brown et al., 1984), the samples are plotted in the field of primitive island arc/continental margin arc. The Torud-Chah Shirin Belt is a part of the Alborz magmatic assemblage (AMA). The AMA has been interpreted to represent the subduction of the Neo Tethyan oceanic lithosphere beneath the Central Iranian continental microplate and the subsequent continental collision of the Arabian and Iranian microplates in the late Cretaceous-early Cenozoic (Berberian and Berberian, 1981; Berberian et al., 1982; Alavi, 1994; Golonka, 2004).

Acknowledgement

This study has been supported by the Research Foundation of the Ferdowsi University of Mashhad, Iran (Project No. 27126.3). The authors would like to acknowledge the East Amethyst Laboratory for XRF analysis. We also thank the Gold Company of Iran for providing conditions for camping and accommodation.

References

- Alavi, M., 1994. Tectonics of the Zagros orogenic belt of Iran: new data and Interpretations. *Tectonophysics*, 22(1): 211–238.
- Berberian, F. and Berberian, M., 1981. Tectono-plutonic episodes in Iran. In: F.M. Delany and H.K. Gupta (Editors), *Zagros Hindukosh. Himalaya Geodynamic Evolution*. American Geophysical Union, Washington DC, pp. 5–32.
- Berberian, F., Muir, I.D., Pankhurst, R.J. and Berberian, M., 1982. Late Cretaceous and early Miocene Andean type plutonic activity in northern Makran and central Iran. *Journal of the Geological Society*, 139(5): 605–614.
- Brown, G.C., Thorpe, R.S. and Webb, P.C., 1984. The geochemical characteristics of granitoids in contrasting arcs and comments on magma sources. *Journal of Geological Society*, 141(3): 413–426.
- Golonka, J., 2004. Plate tectonic evolution of the southern margin of Eurasia in the Mesozoic and Cenozoic. *Tectonophysics*, 381(1-4): 235–273.
- Liaghat, S., sheykhi, V. and Najjaran, M., 2008. Petrology, gheochemystry and genesis of Baghu turquoise, Damghan. *Journal of Science, University of Tehran*, 34(2): 133–142. (in Persian with English abstract)
- Mehrabi, B. and Ghasemi Siani, M., 2010. Mineralogy and economic geology of Cheshmeh Hafez polymetallic deposit, Semnan province, Iran. *Journal of Economic Geology*, 2(1): 1–20. (in Persian with English abstract)
- Pearce, J.A., Haris, N.B.W. and Tindale, A.G., 1984. Trace element discrimination diagrams for the tectonic interpretation of granitic rocks, *Journal of Petrology*, 25(4): 956–983.